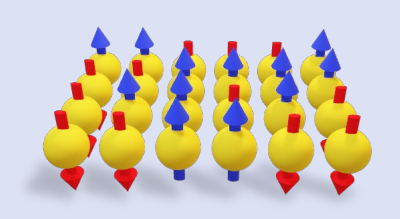
IMAGING OF MATTER



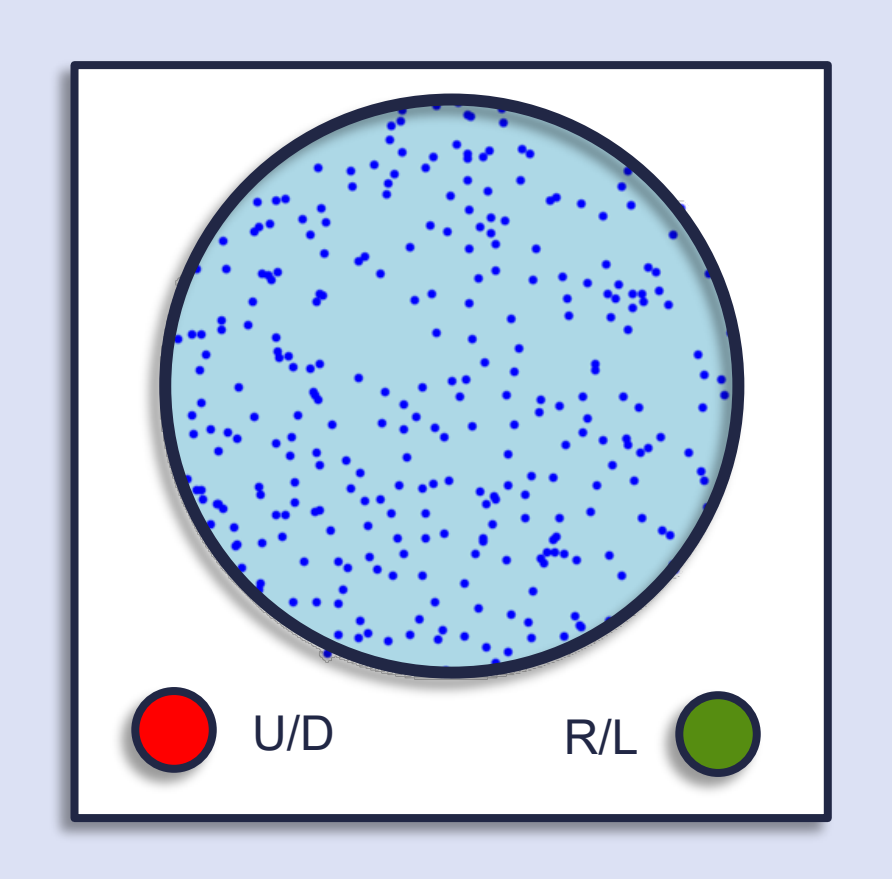
Quantenbits in Aktion Physik und Anwendungen des Quantenrechnens

Dieter Jaksch, Universität Hamburg



Ein Quantenbit – vor einer Messung

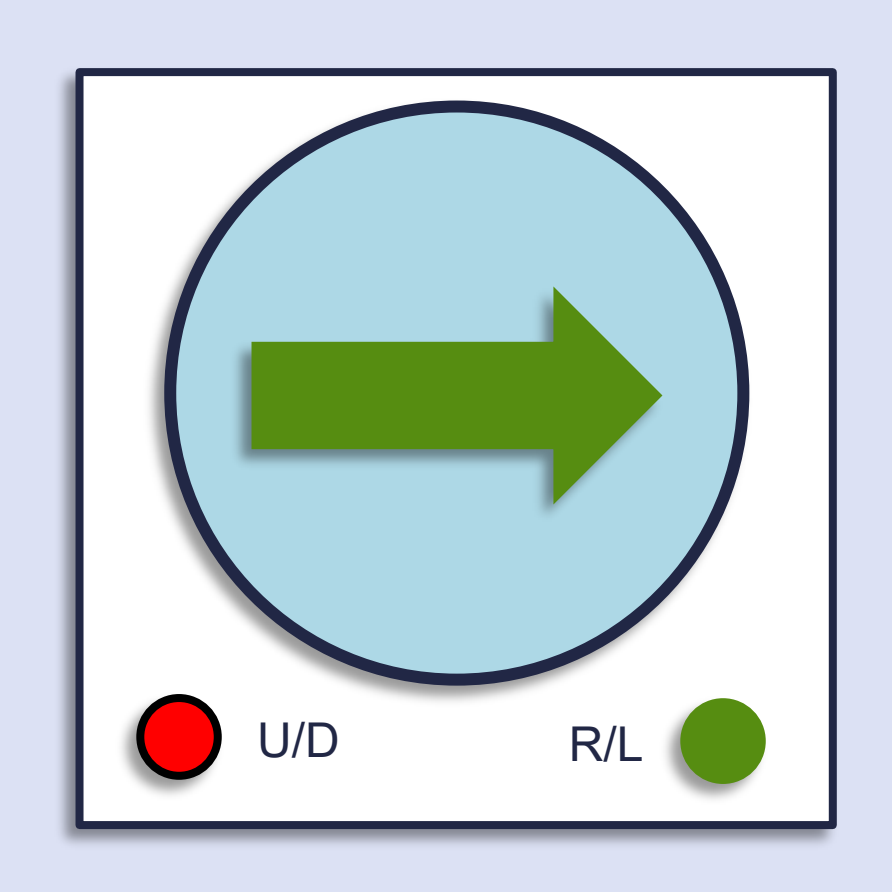




Ein Quantenbit – nach der R/L Messung



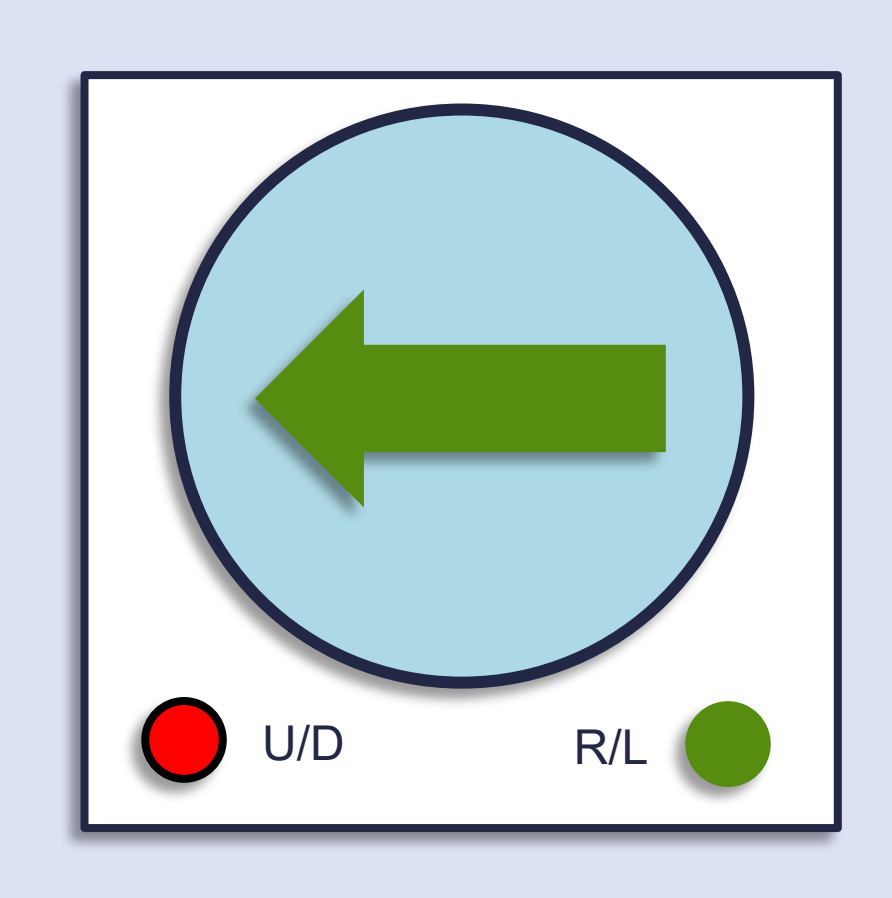
Entweder ...



Ein Quantenbit – nach der R/L Messung

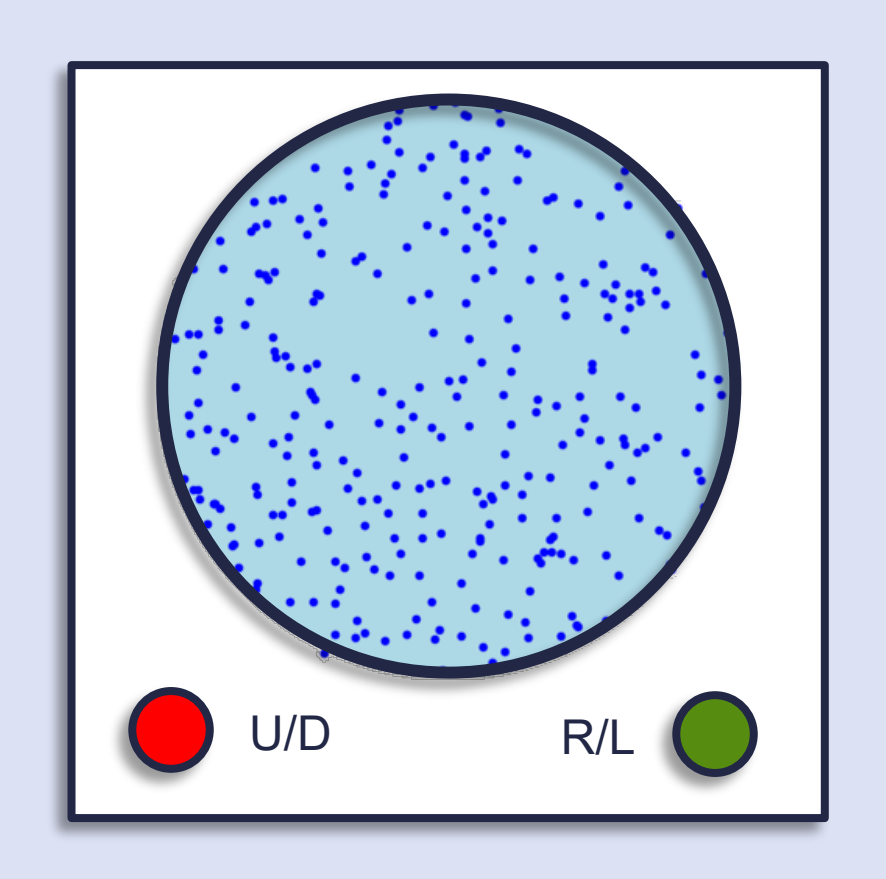


oder ...



Ein Quantenbit – vor der Messung

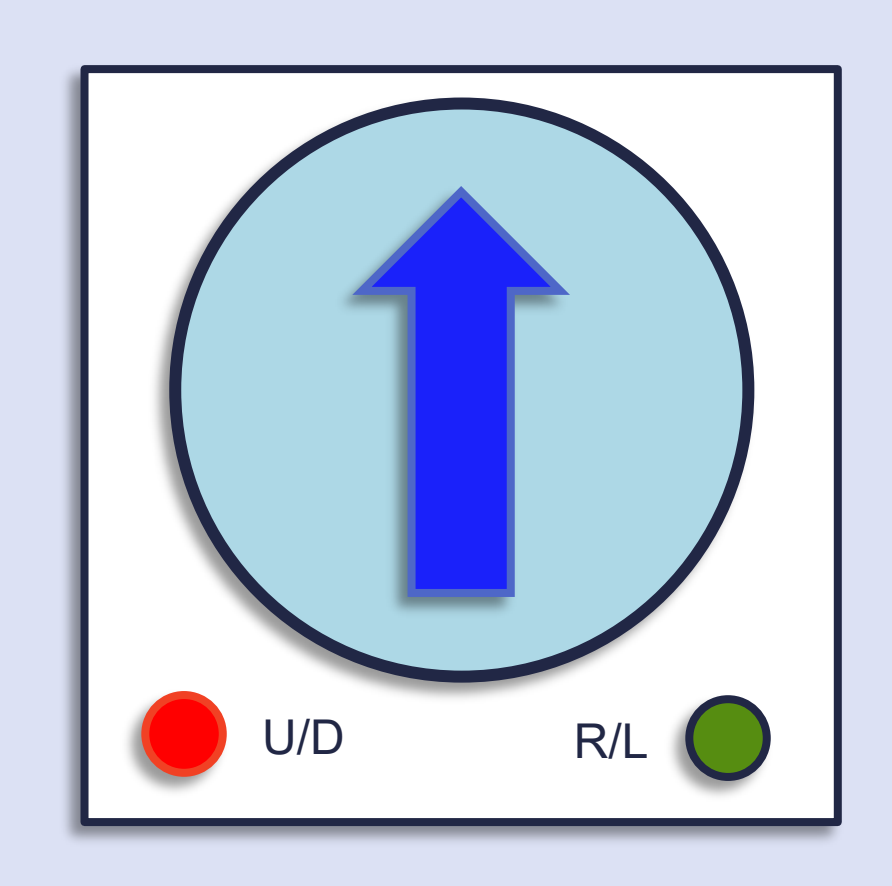




Ein Quantenbit – nach der U/D Messung



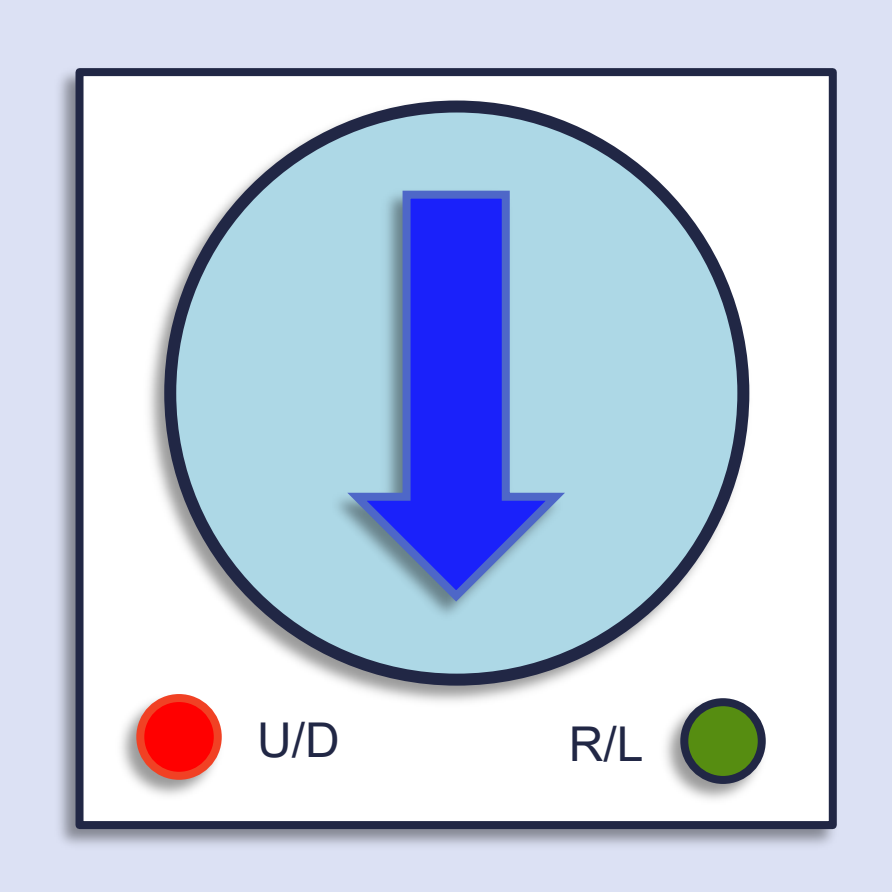
Entweder ...



Ein Quantenbit – nach U/D Messuing: Pfeil nach oben



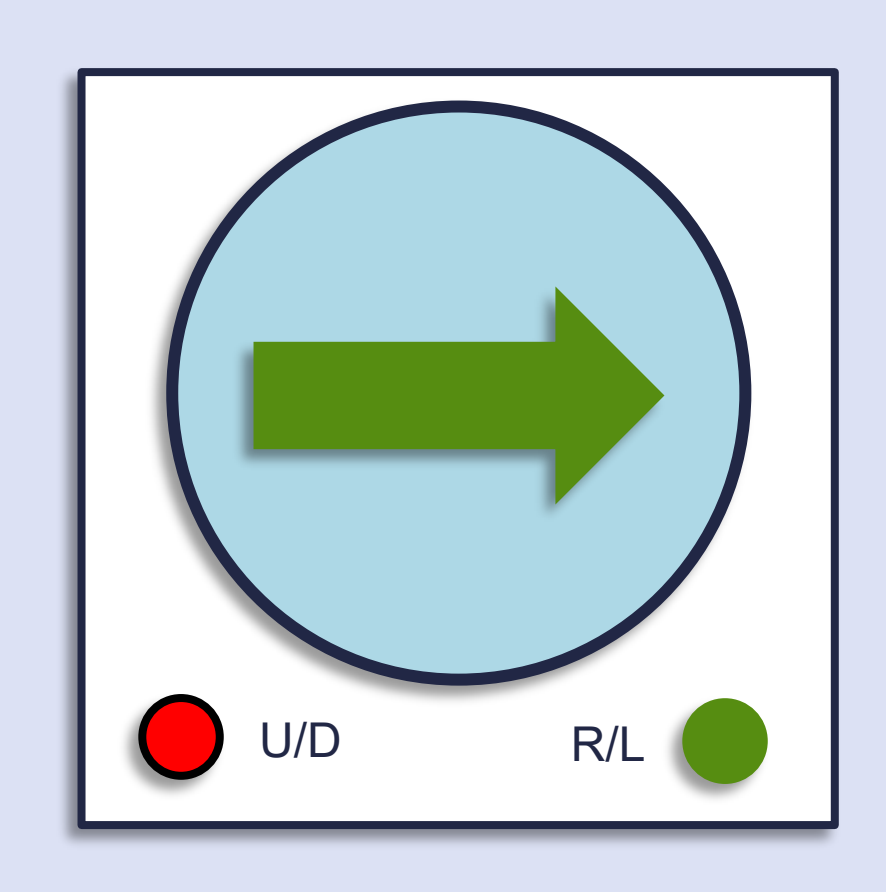
oder ...



Ein Quantenbit – nach einer weiteren R/L Messung



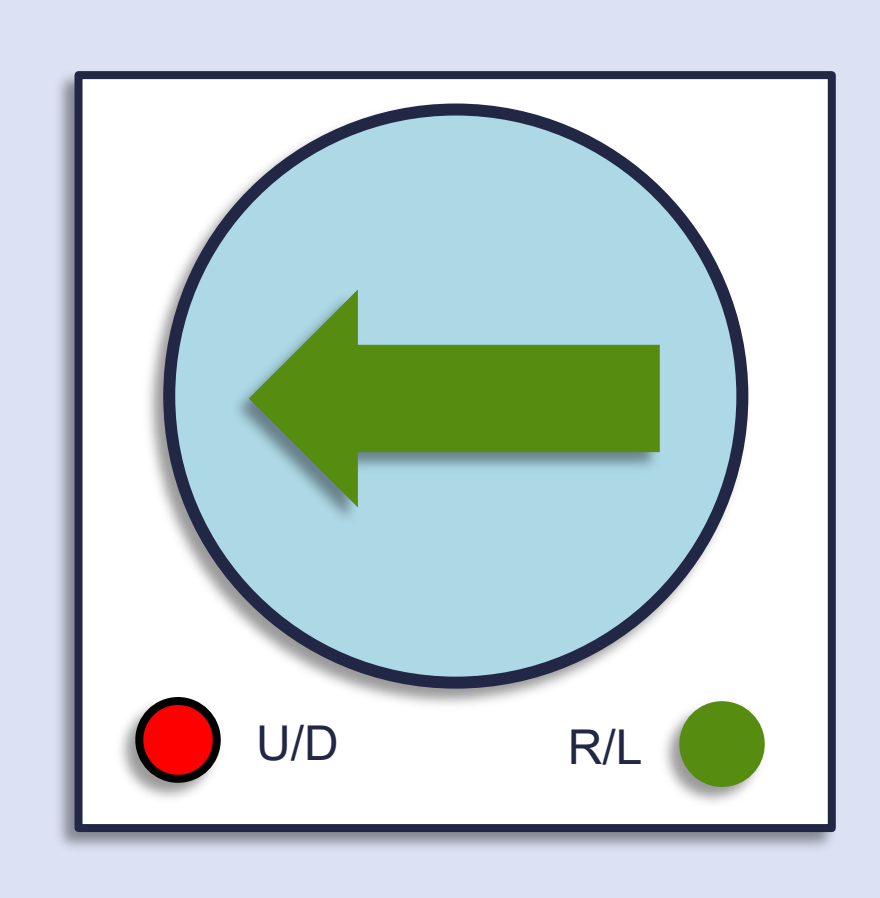
Entweder ...



Ein Quantenbit – nach einer weiteren R/L Messung

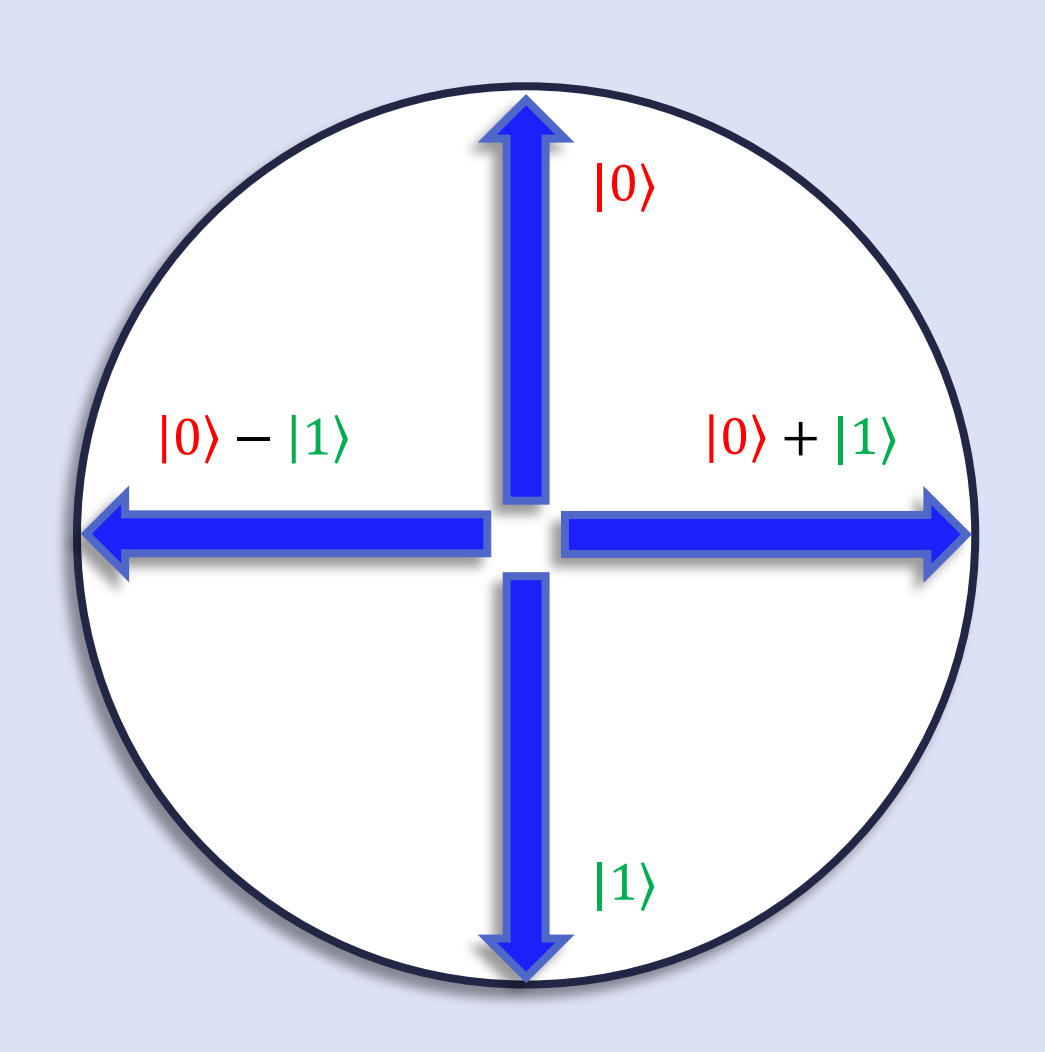


oder ...

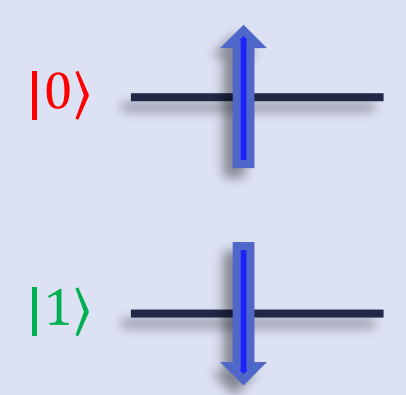


Superpositionszustände eines Quantenbits





• Ein Qubit ist ein Zweiniveausystem



 Der Zustand eines Qubits ist eine Superposition von zwei Basiszuständen |0) und |1)

$$|\psi\rangle = c_0 |0\rangle + c_1 |1\rangle$$

• Die komplexen Zahlen c_0 and c_1 beschreiben einen allgemeinen reinen Zustand

Bits und Quantenbits



• Ein klassisches Bit als Zweiniveausystem





- Ein klassisches Bit kann einen von zwei Werten annehmen
 - "aus" oder logisch 0 entspricht 0
 - "an" oder logisch 1 entspricht 1

Ein Qubit ist ein Zweiniveausystem

 Der Zustand eines Qubits ist eine Superposition von zwei Basiszuständen |0) und |1)

$$|\psi\rangle = c_0 |0\rangle + c_1 |1\rangle$$

Die komplexen Zahlen c_0 and c_1 beschreiben einen allgemeinen reinen Zustand

Zwei Quantenbits – Produktzustand



$$|0\rangle \longrightarrow |0\rangle \longrightarrow |0\rangle$$

$$|1\rangle \longrightarrow |1\rangle \longrightarrow |1\rangle$$

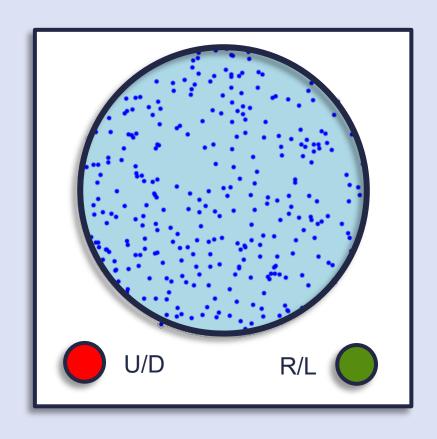
$$|\psi\rangle_1 = c_0|0\rangle + c_1|1\rangle$$

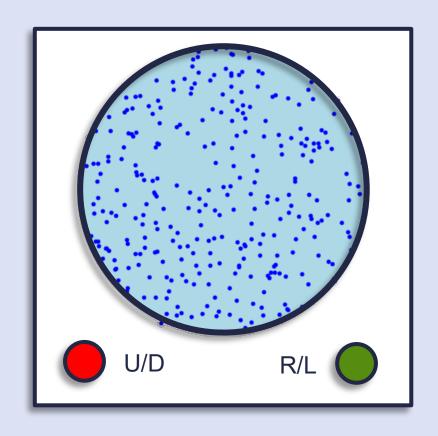
$$|\psi\rangle_2 = d_0|0\rangle + d_1|1\rangle$$

• Zwei unabhängige Quantenbit werden durch Zustände $|\psi\rangle_1$ und $|\psi\rangle_2$ beschrieben

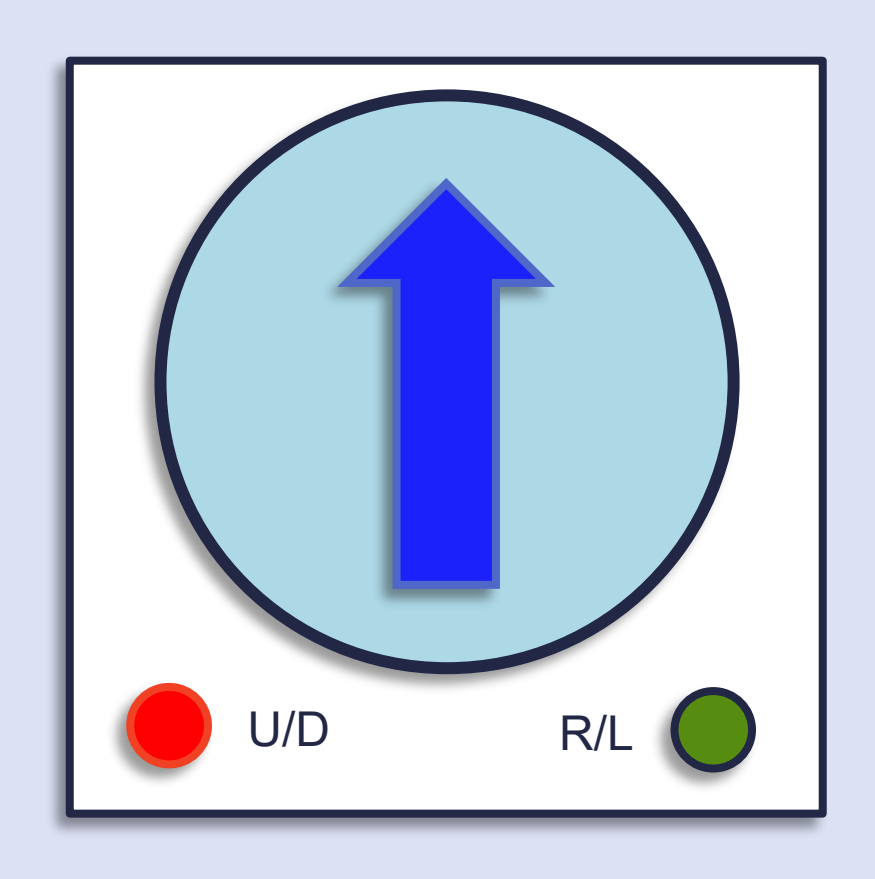
$$\begin{aligned} |\psi\rangle_{12} &= |\psi\rangle_1 \otimes |\psi\rangle_2 = (c_0|\mathbf{0}\rangle + c_1|\mathbf{1}\rangle) \otimes (d_0|\mathbf{0}\rangle + d_1|\mathbf{1}\rangle) \\ &= c_0 d_0|\mathbf{0}\rangle \otimes |\mathbf{0}\rangle + c_0 d_1|\mathbf{0}\rangle \otimes |\mathbf{1}\rangle + c_1 d_0|\mathbf{1}\rangle \otimes |\mathbf{0}\rangle + c_1 d_1|\mathbf{1}\rangle \otimes |\mathbf{1}\rangle \end{aligned}$$

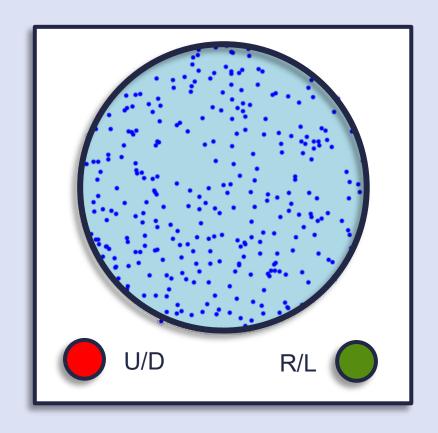




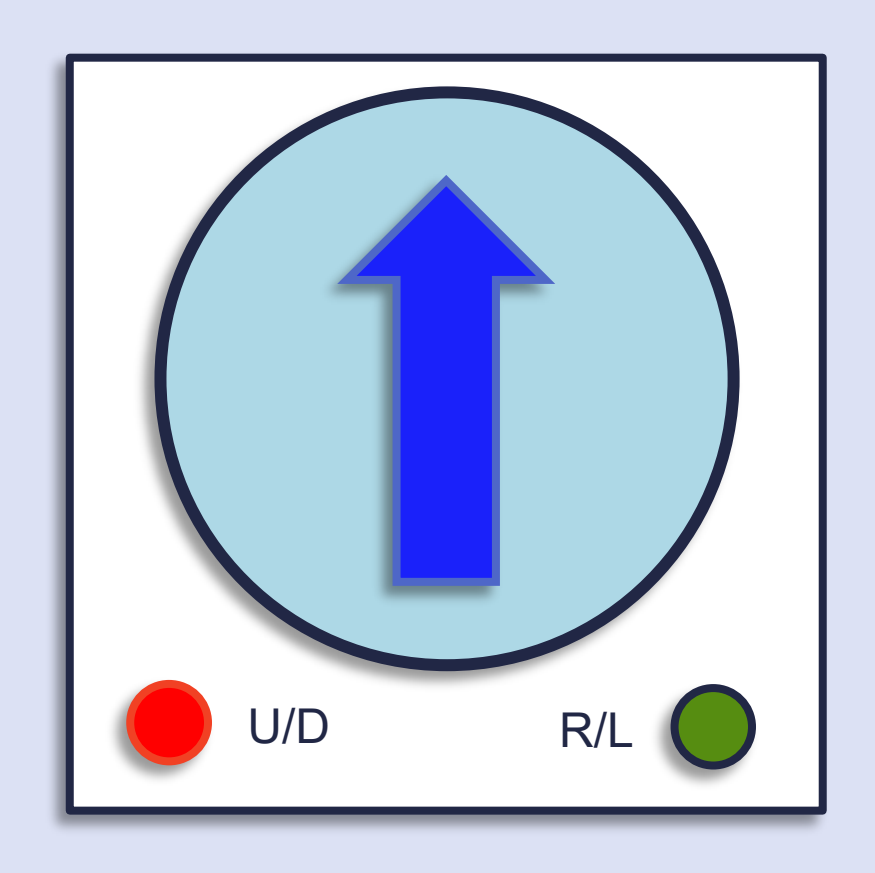


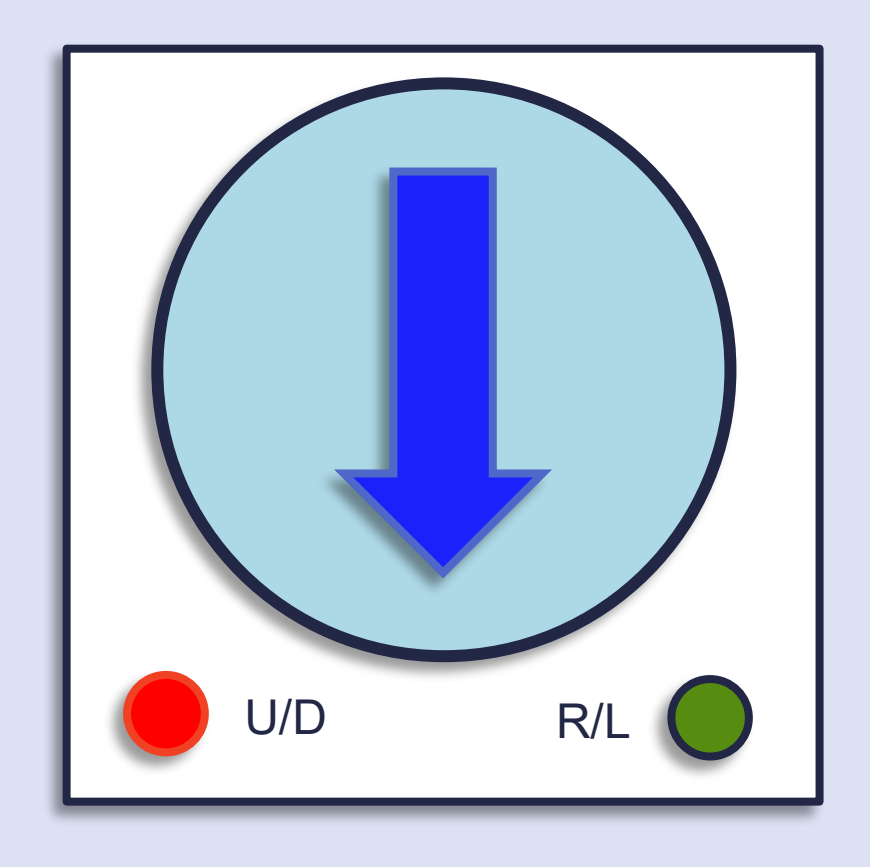




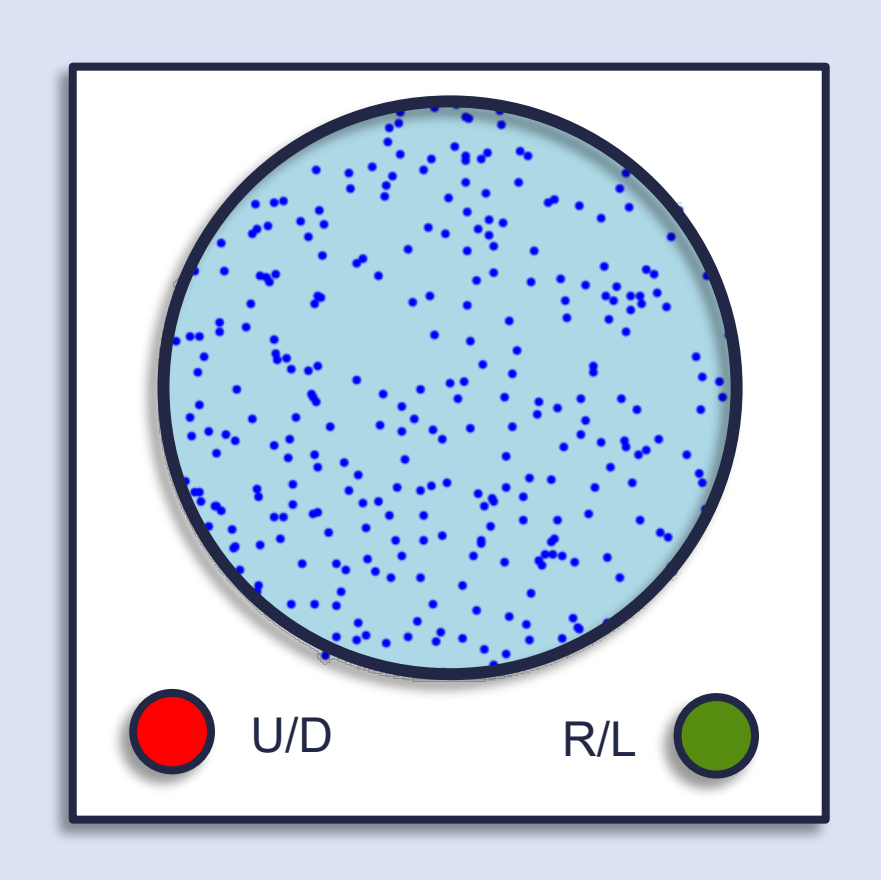


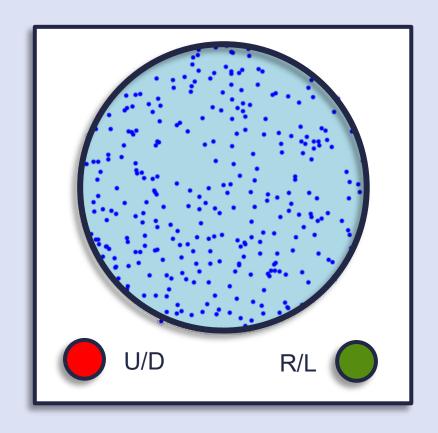






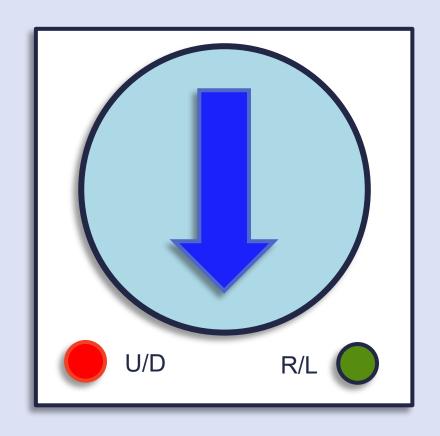


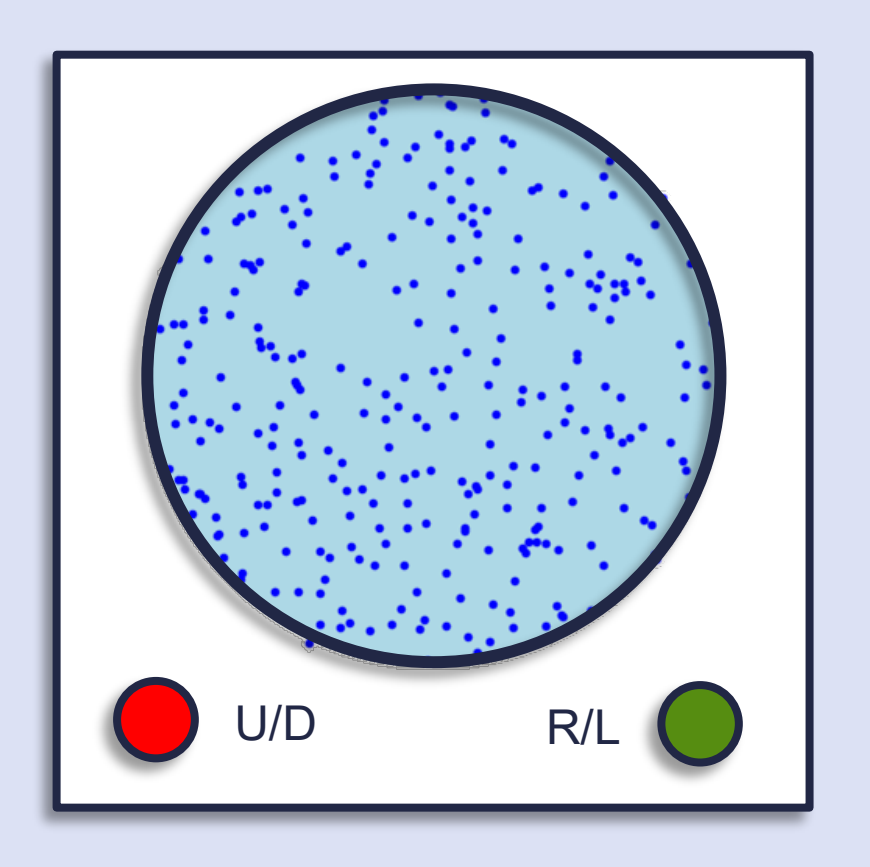




Zwei verschränkte Quantenbits – Messung eines Qubits

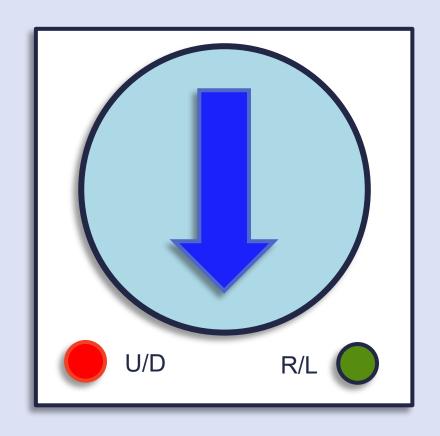


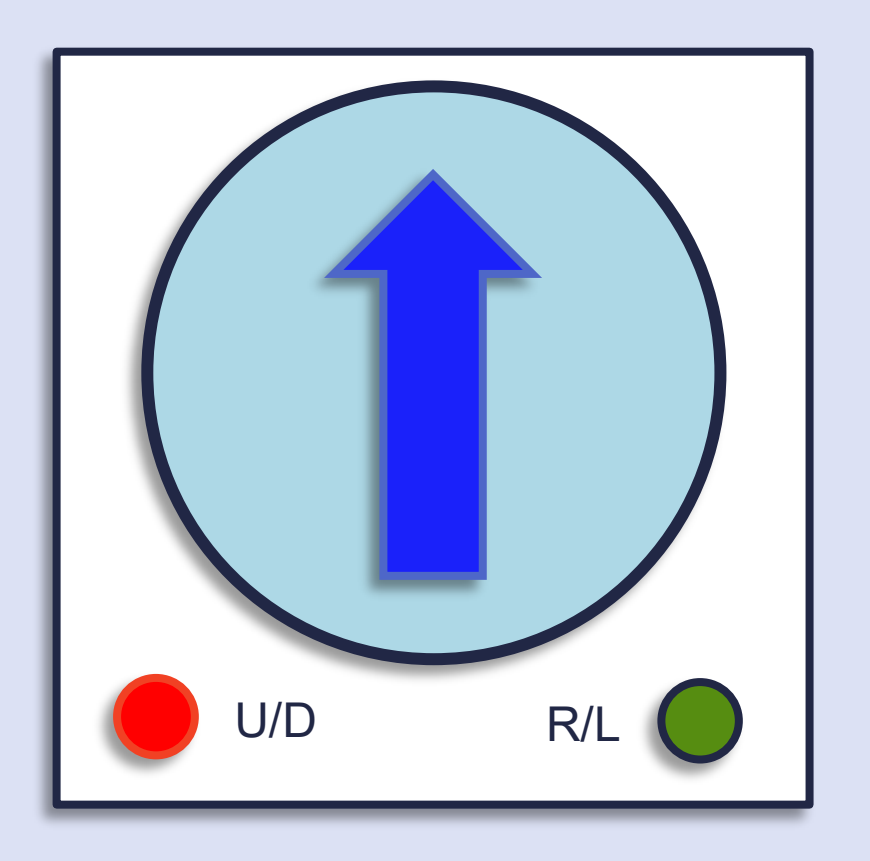




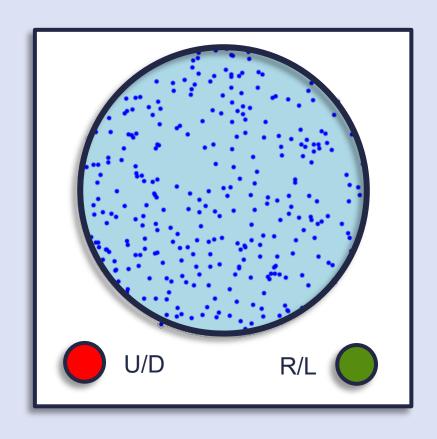
Zwei verschränkte Quantenbits – Messung beider Qubits

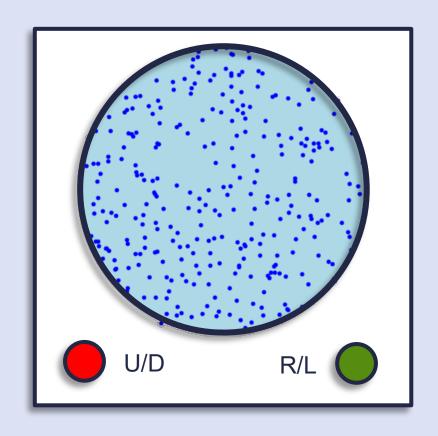






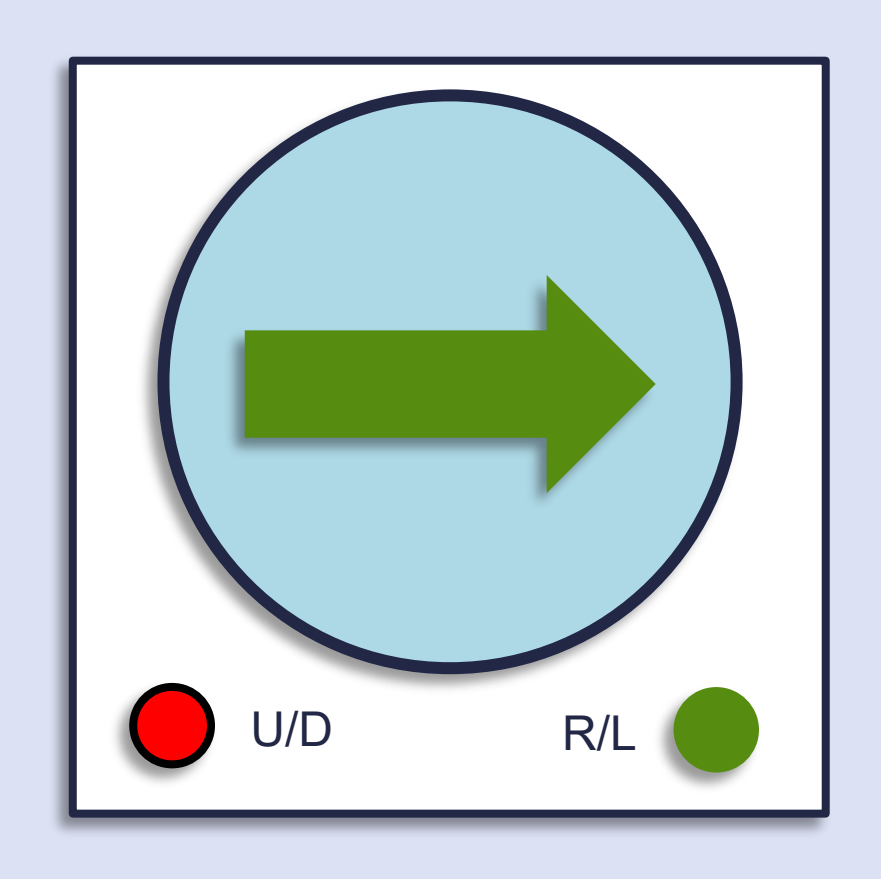


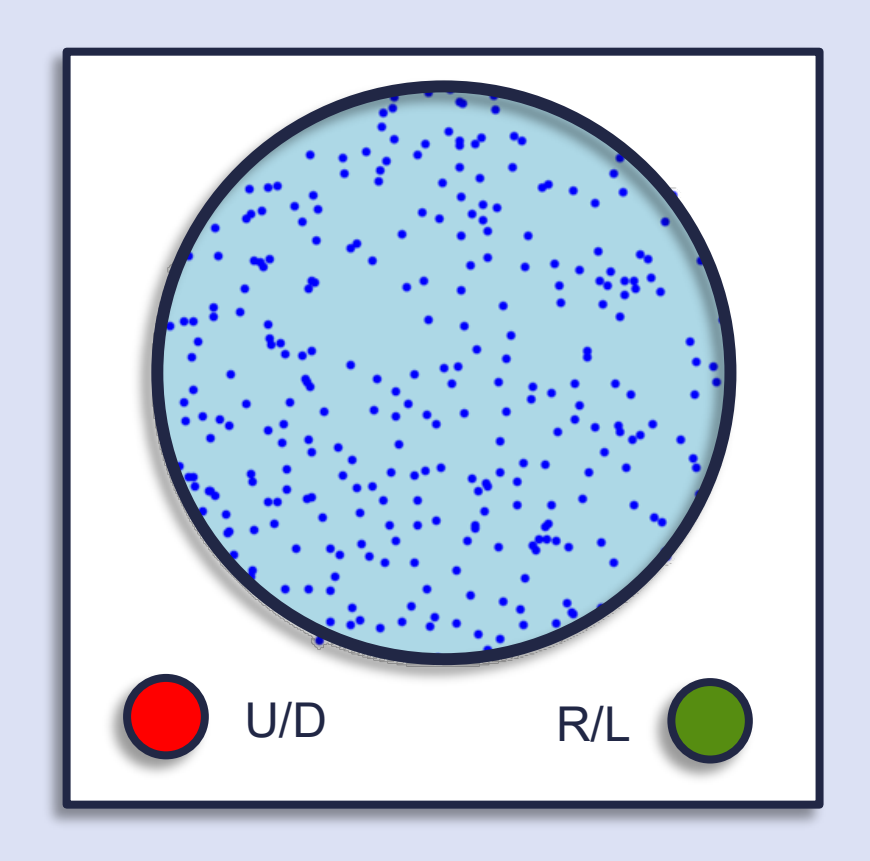




Zwei verschränkte Quantenbits – Messung eines Qubits

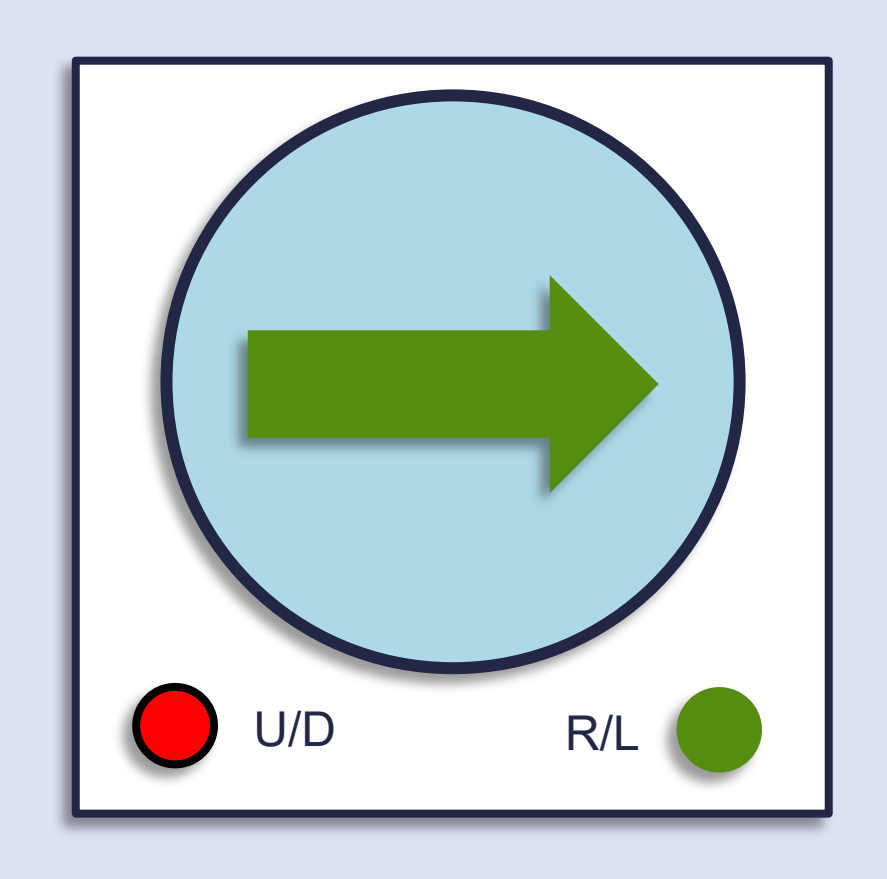


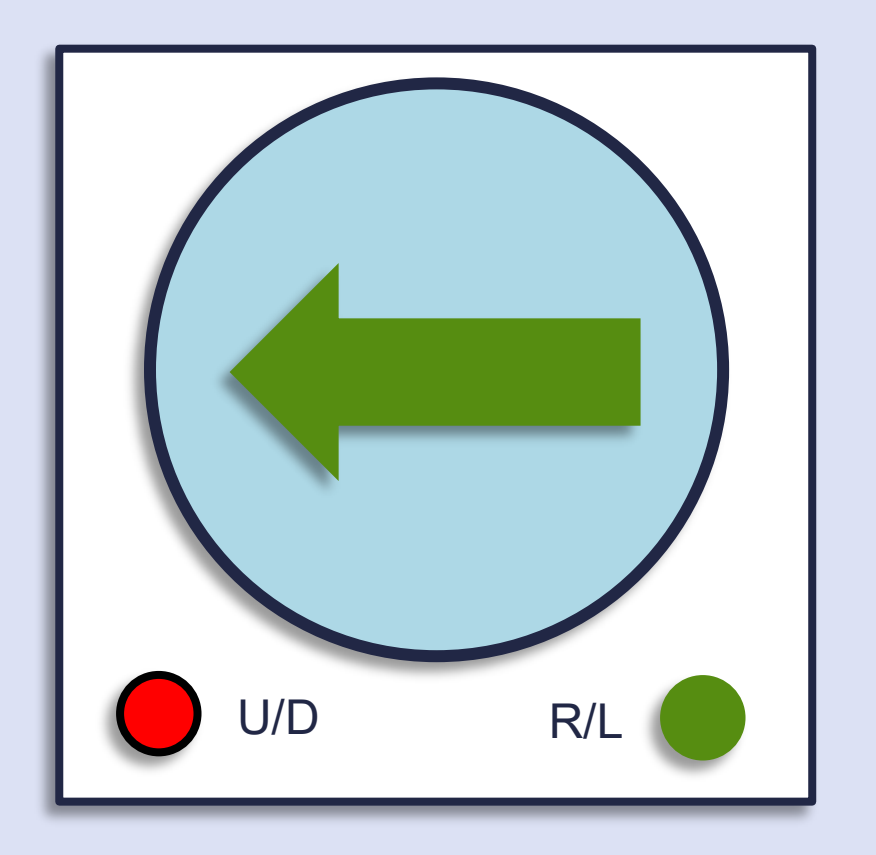




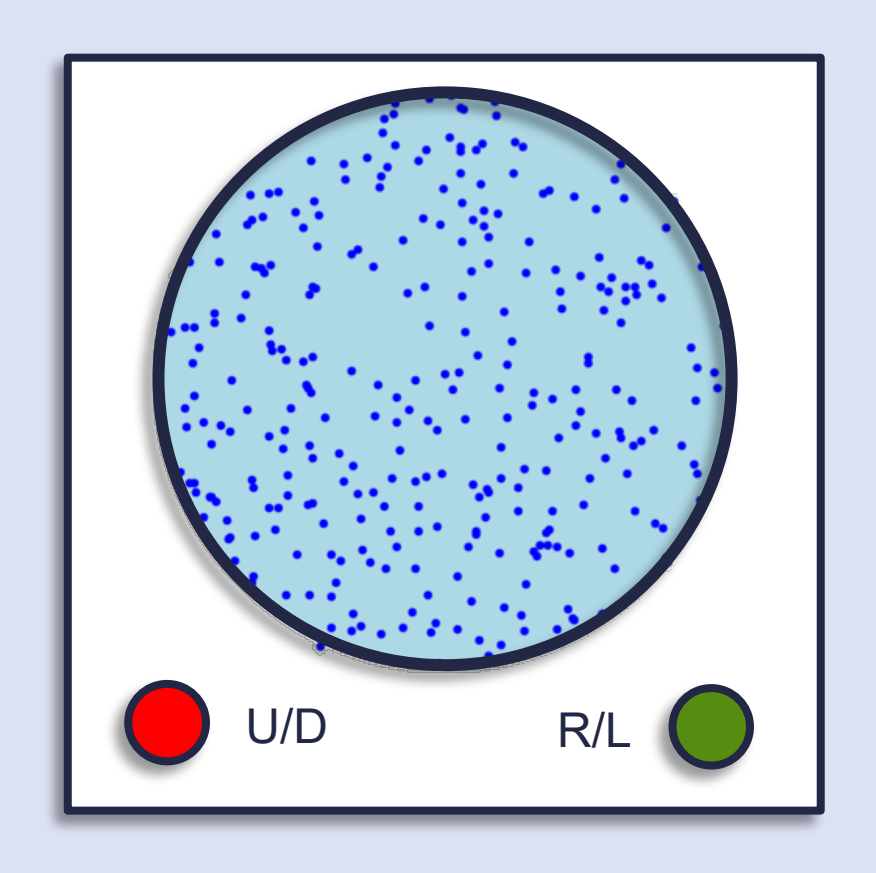
Zwei verschränkte Quantenbits – Messung beider Qubits

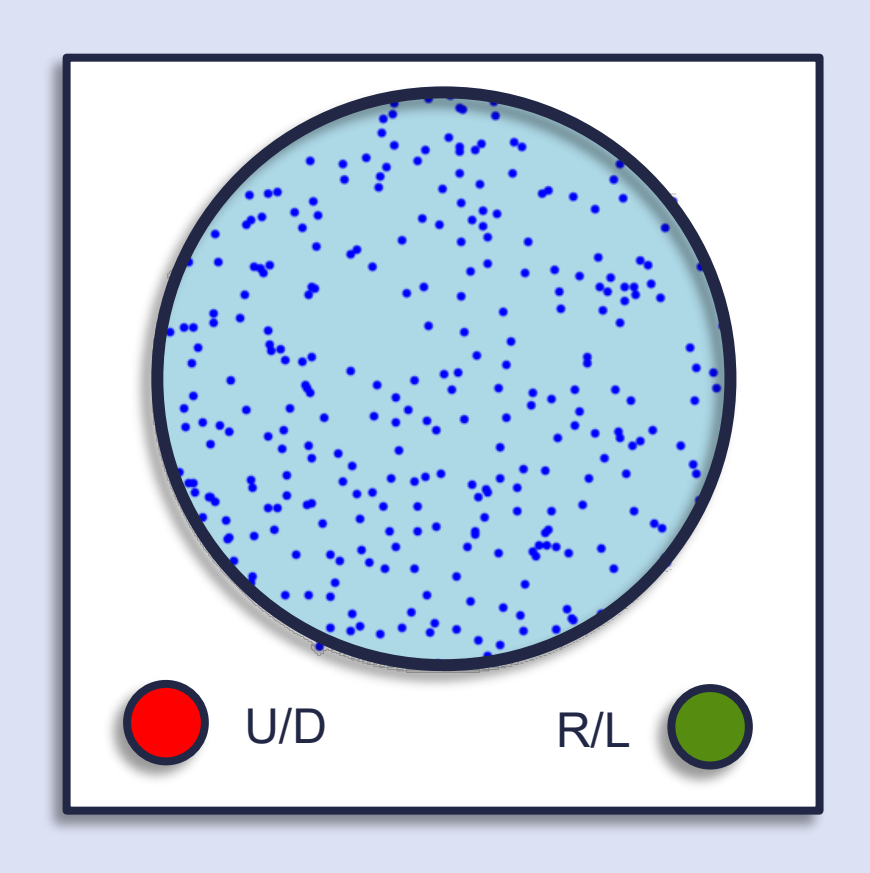






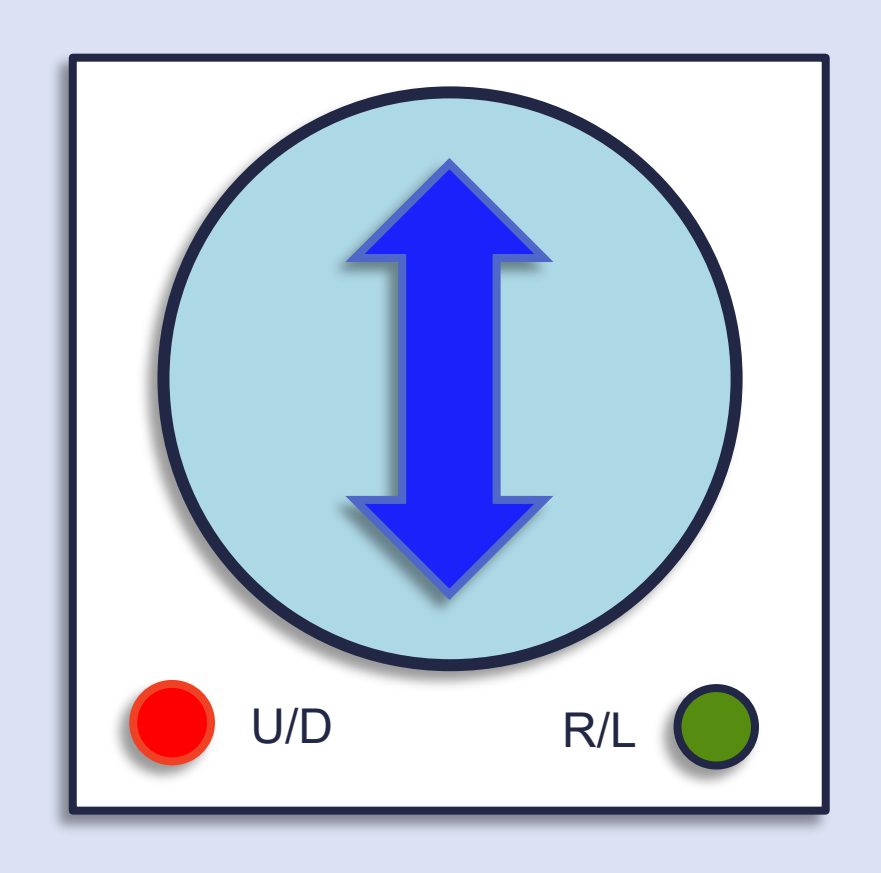


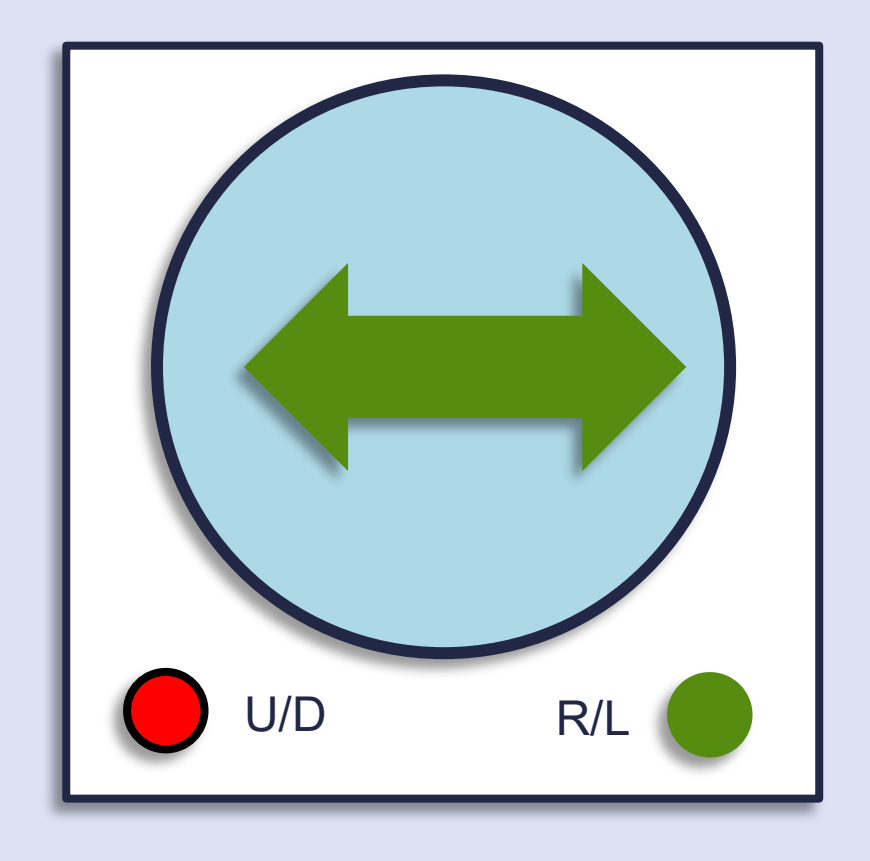




Messung in verschiedenen Richtungen







Zwei Quantenbits – verschränkter Zustand



$$|0\rangle \longrightarrow |0\rangle \longrightarrow |1\rangle \longrightarrow |1\rangle \longrightarrow |1\rangle \longrightarrow |\psi^{-}\rangle = c_{01}|0\rangle \otimes |1\rangle + c_{10}|1\rangle \otimes |0\rangle \neq |\psi\rangle_{1} \otimes |\psi\rangle_{2}$$

Ein allgemeiner verschänkter Zustand

$$|\psi\rangle_{12} = c_{00}|00\rangle + c_{01}|01\rangle + c_{10}|10\rangle + c_{11}|11\rangle = \sum_{j=0}^{3} c_{j}|j\rangle$$

$$00 \rightarrow 0$$

$$01 \rightarrow 1$$

$$10 \rightarrow 2$$

$$11 \rightarrow 3$$

Für n Quantenbits



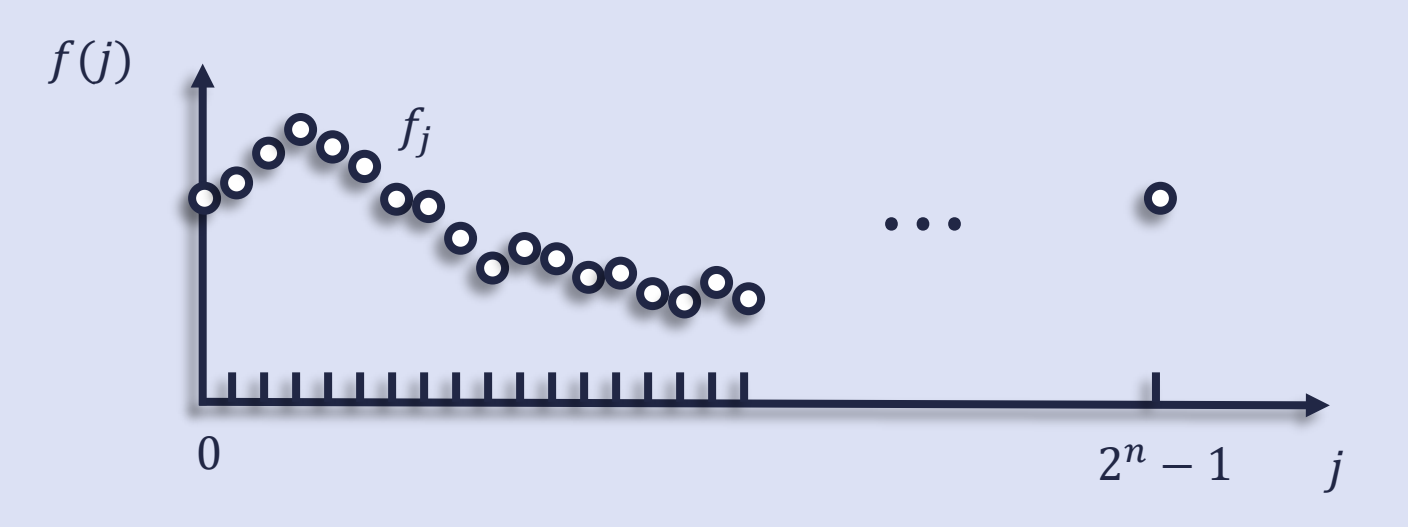
$$|0\rangle \longrightarrow |0\rangle \longrightarrow |0\rangle \longrightarrow |0\rangle \longrightarrow |0\rangle \longrightarrow |0\rangle \longrightarrow |0\rangle \longrightarrow |1\rangle \longrightarrow |1\rangle$$

• \vec{c} ist ein Vektor mit Länge 2^n d.h. die Zahl der Elemente wächst exponentiell mit der Zahl der Quantenbits n

50 Quantenbits speichern $2^{50} \approx 10^{15}$ Elemente dafür benötigt ein klassicher Computer ≈ 64 Petabyte

Amplitudencodierung diskreter Funktionen





Diskrete Funktion in einer räumlichen Dimension

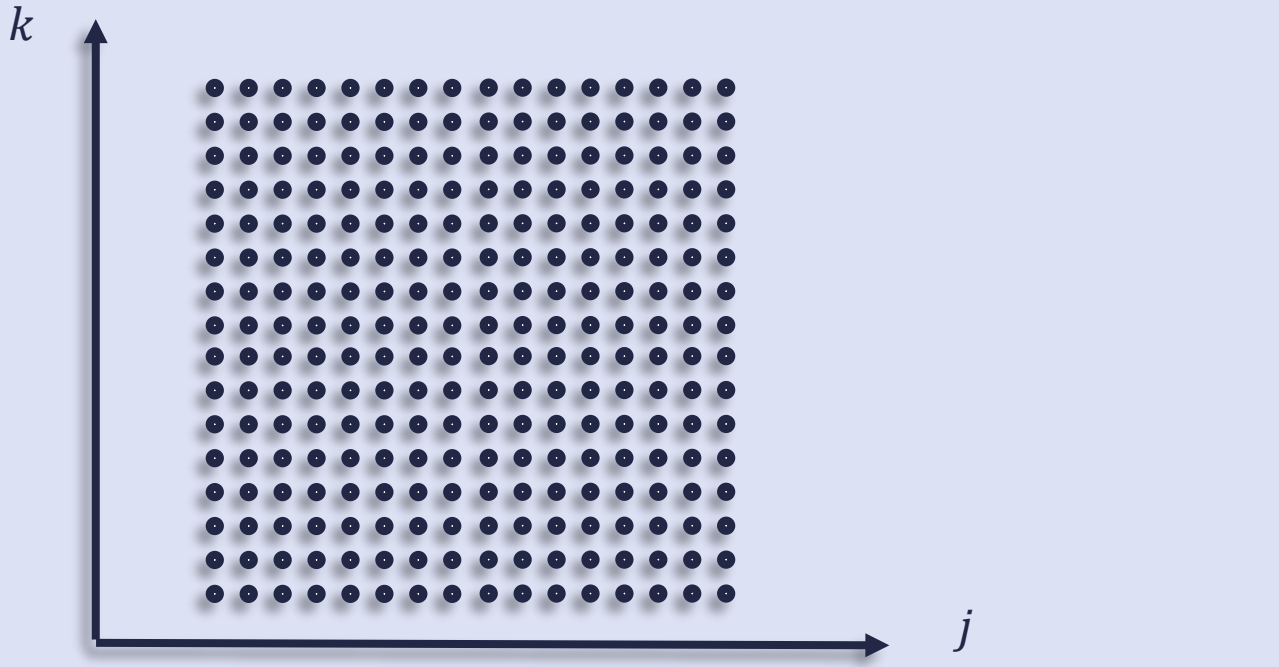
$$|\psi\rangle = \sum_{j} \vec{f}_{j} |j\rangle$$

Für Funktionen in zwei Dimensionen schreiben wir

$$|\psi\rangle = \sum_{j,k} \vec{f}_{j,k} |j,k\rangle$$

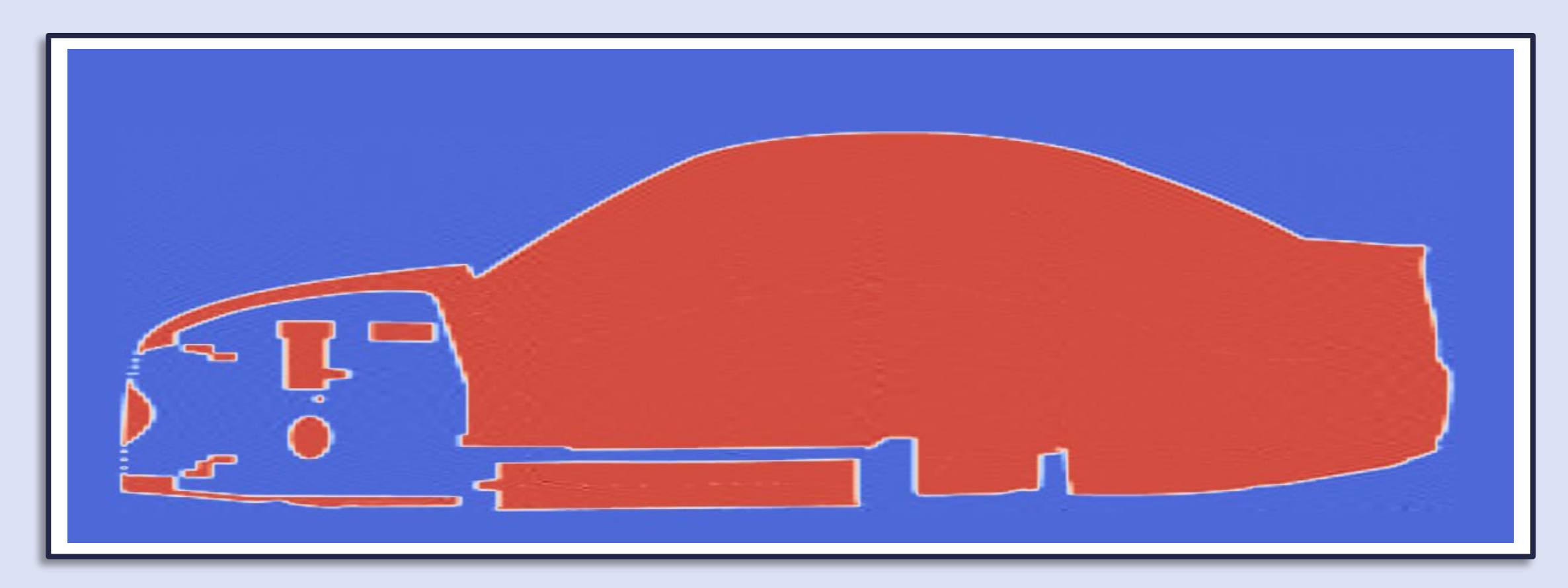
Eine zweite Dimension benötigt daher nur doppelt so viele Quantenbits als eine.

Für d Dimensionsn brauchen wir nd Qubits



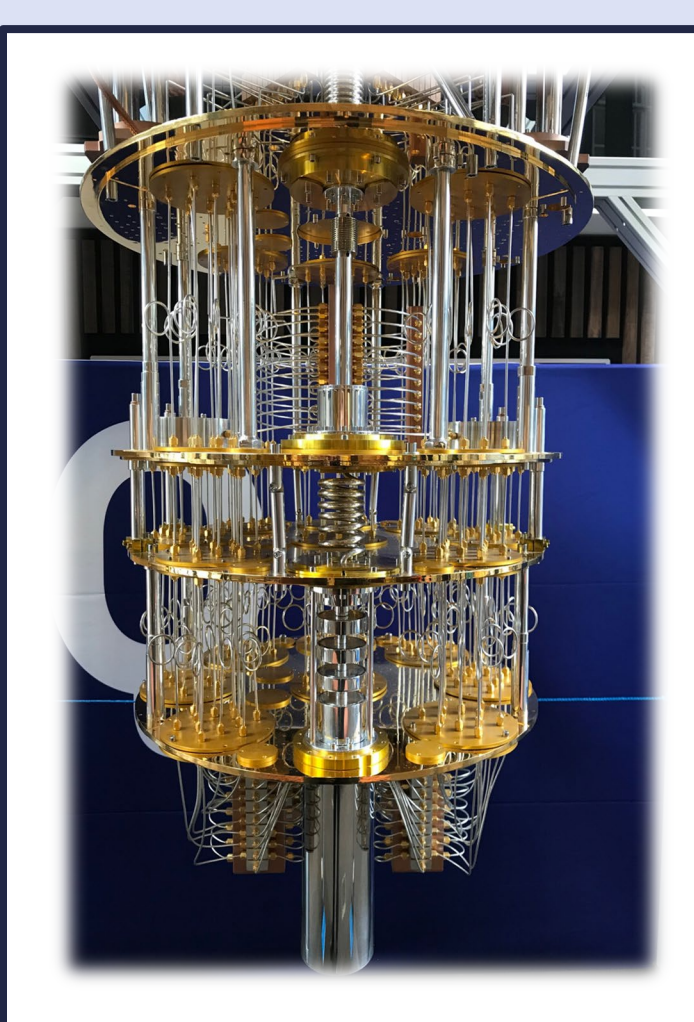
Die detaillierte Darstellung eines Autos benötigt 16 Qubits





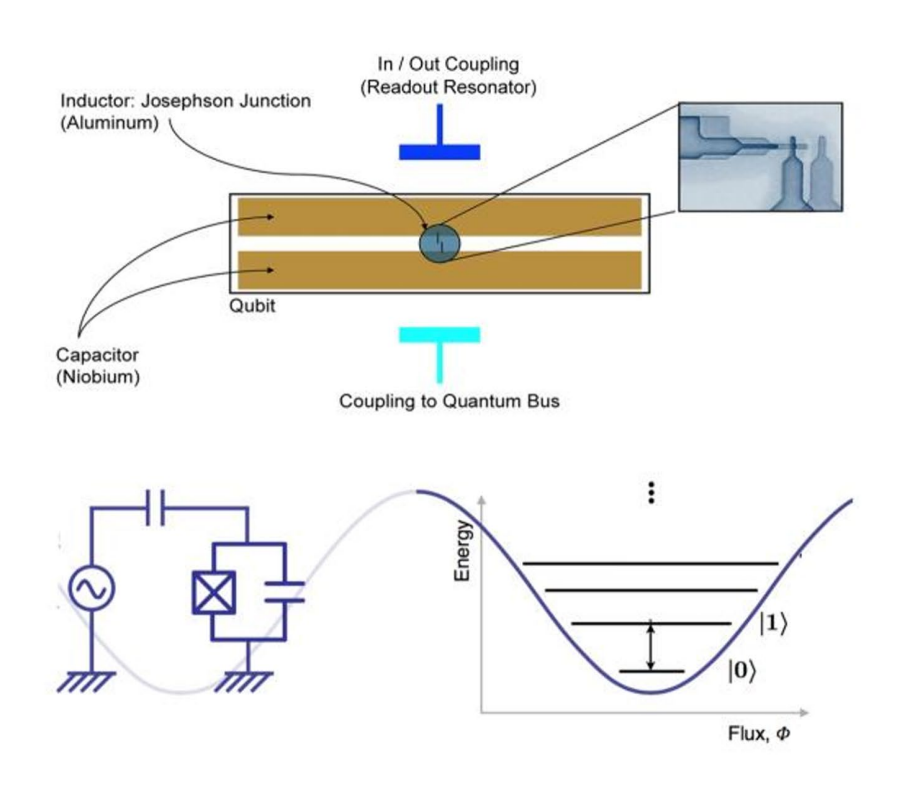
Wie baut man Quantenbits? – supraleitende Ströme

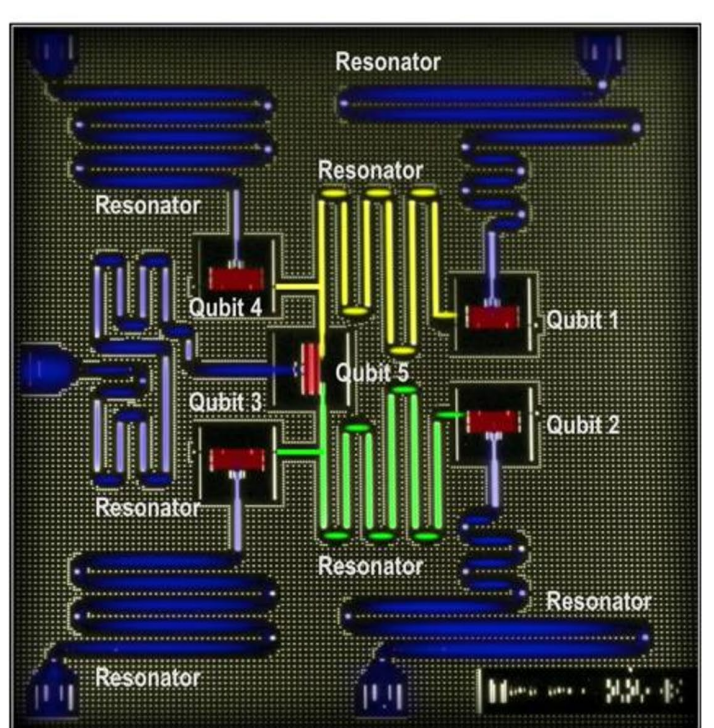




IBM setup

5 Quantenbit Computer

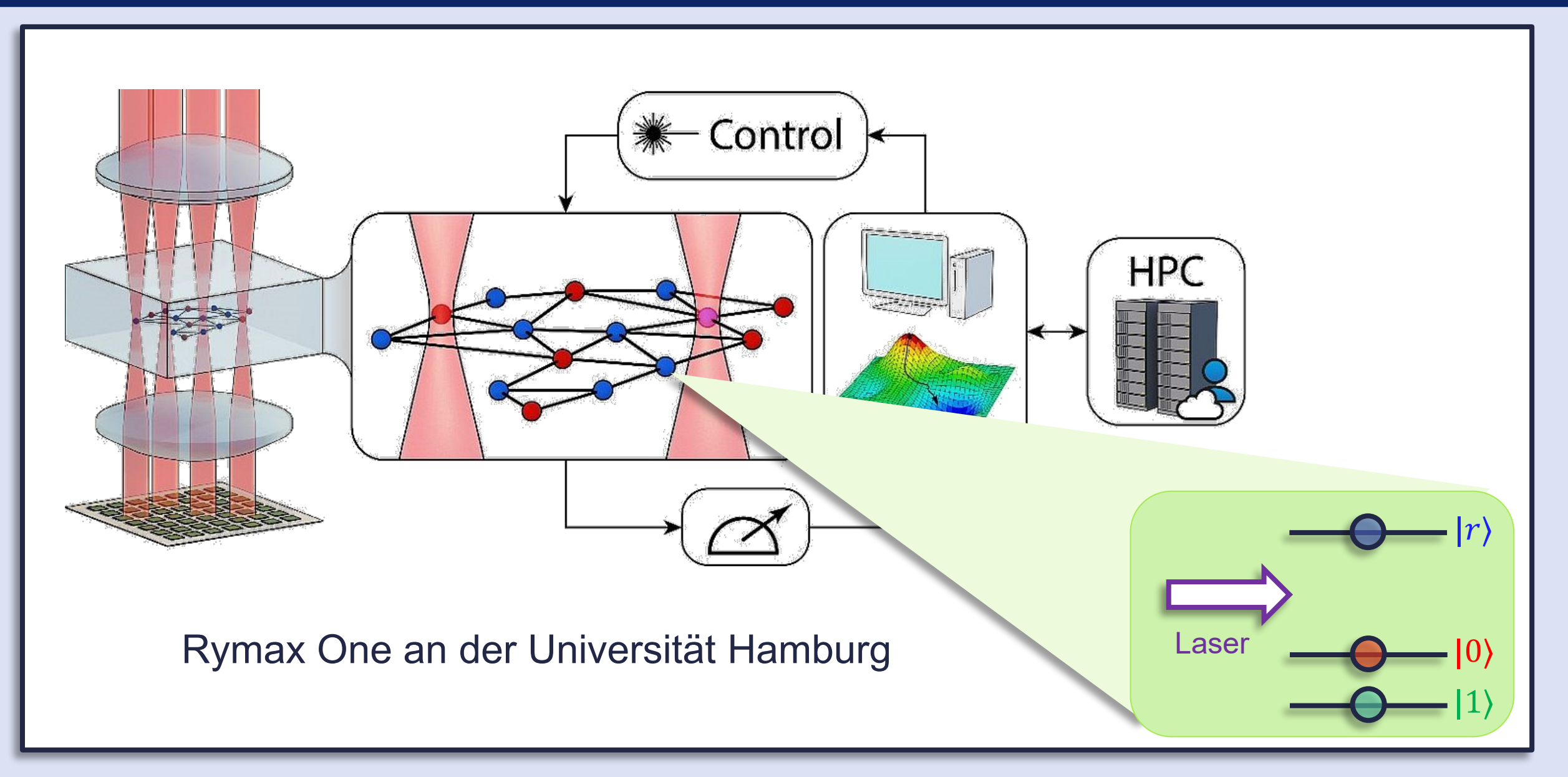




Industry Insights on www.PGS.com

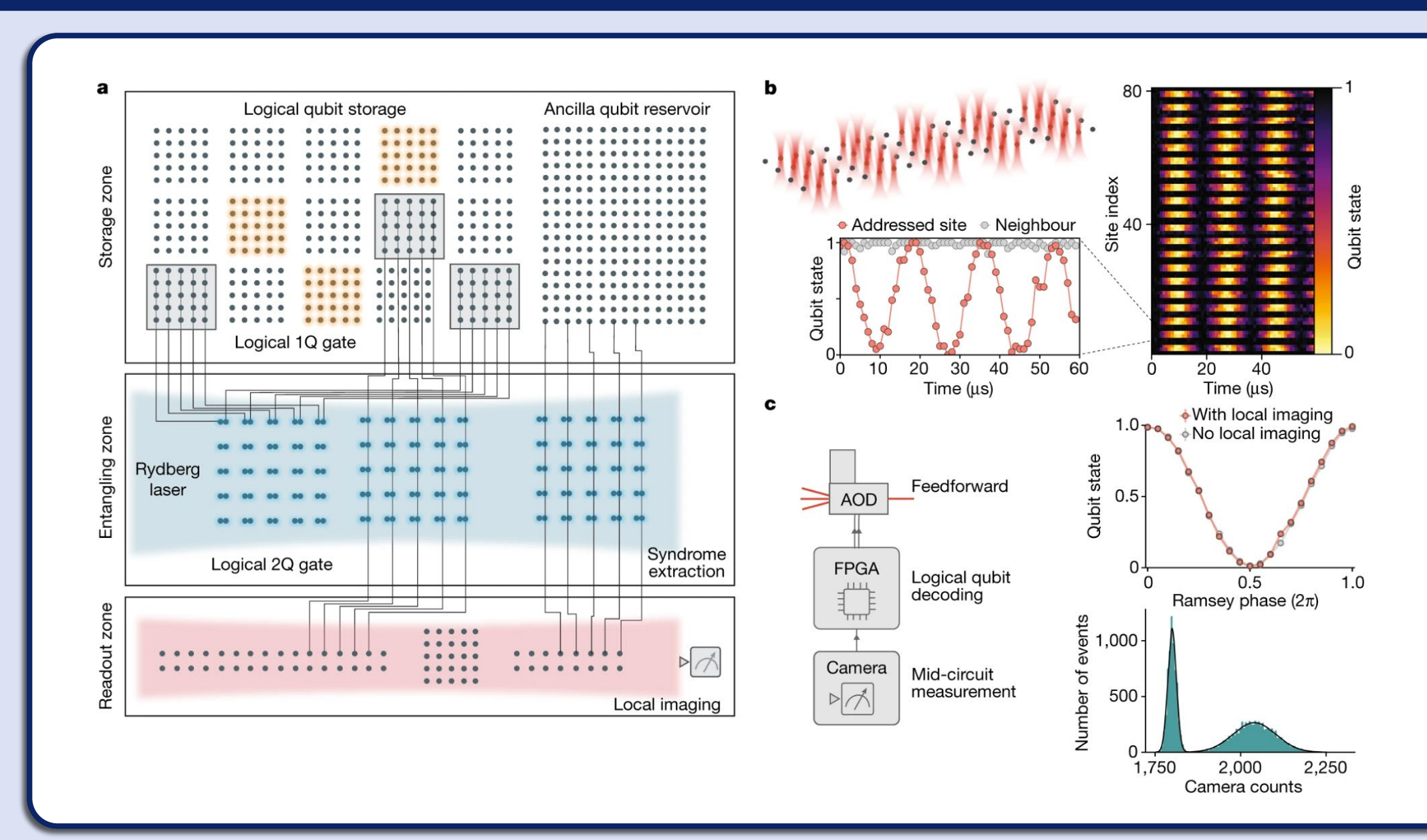
Wie baut man Quantenbits? - Rydberg Atome





Rydberg Quantenrechner an der Harvard University





processor based on Logical quantum

58 (2024)

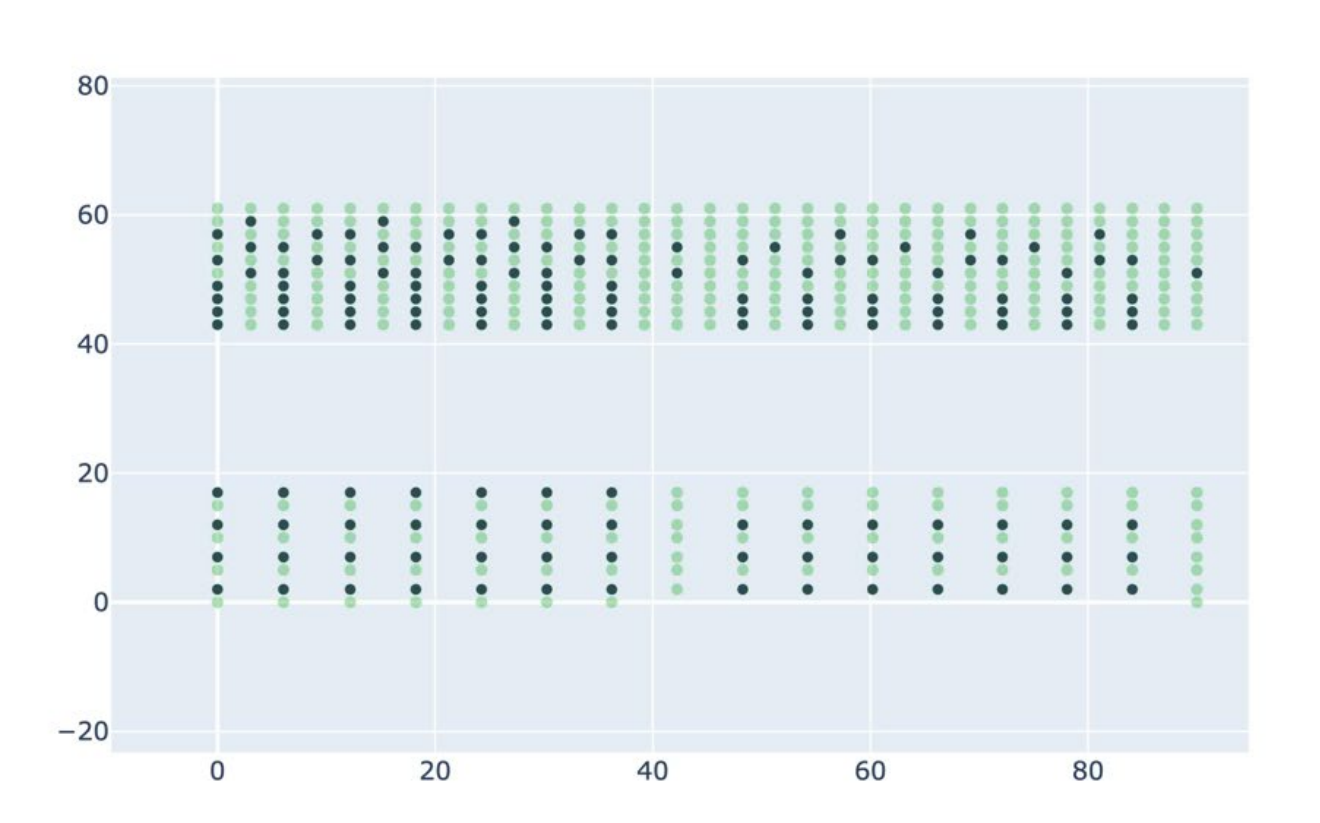
626,

Nature

Quantum Hardware Fortschritte



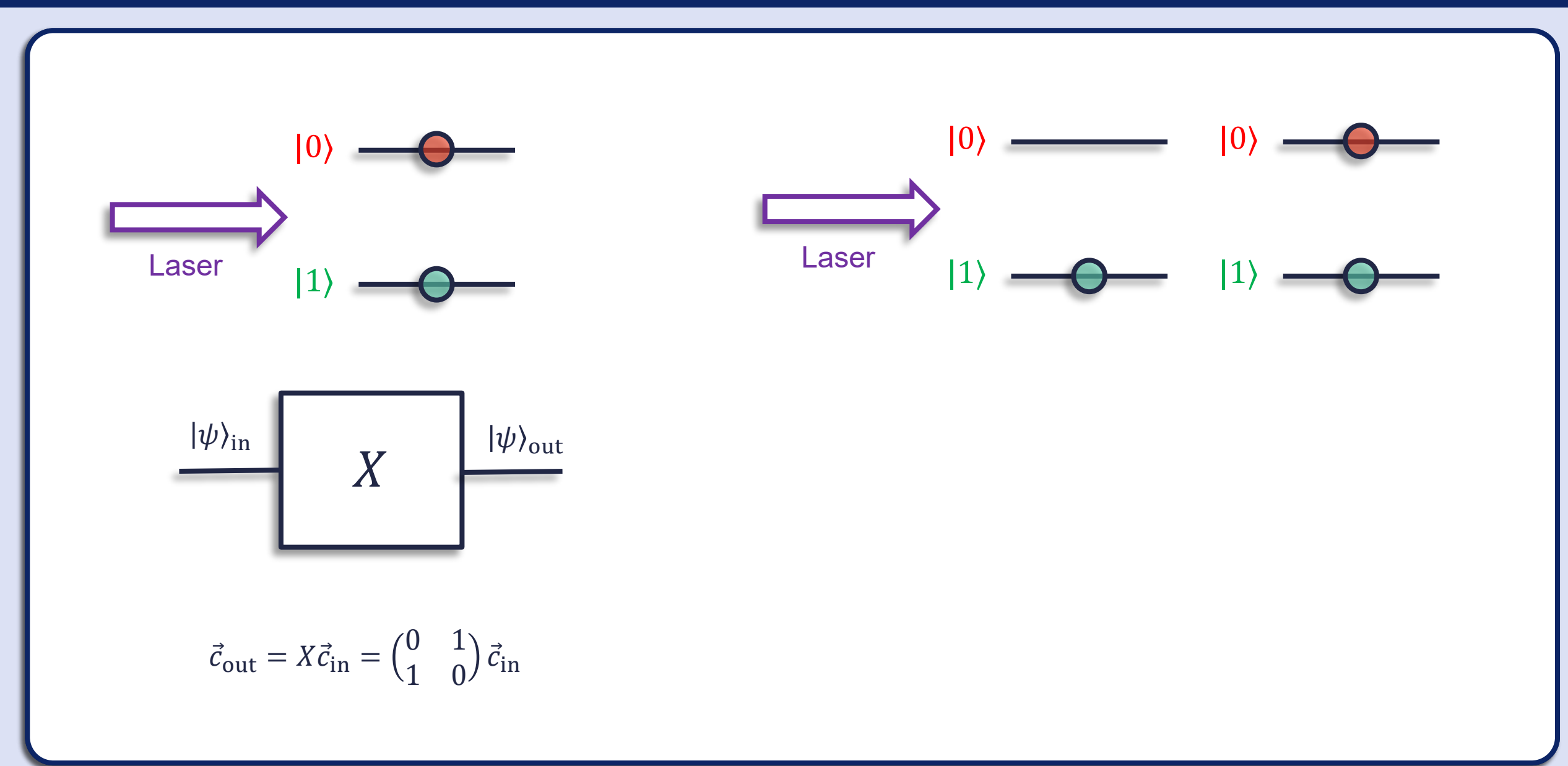
The static light green circles show the positions of SLM traps, the light red circles the moveable tweezers and the dark-green circles are the individual atoms.



Logical quantum processor based on reconfigurable atom arrays, 58 (2024) 626, Nature

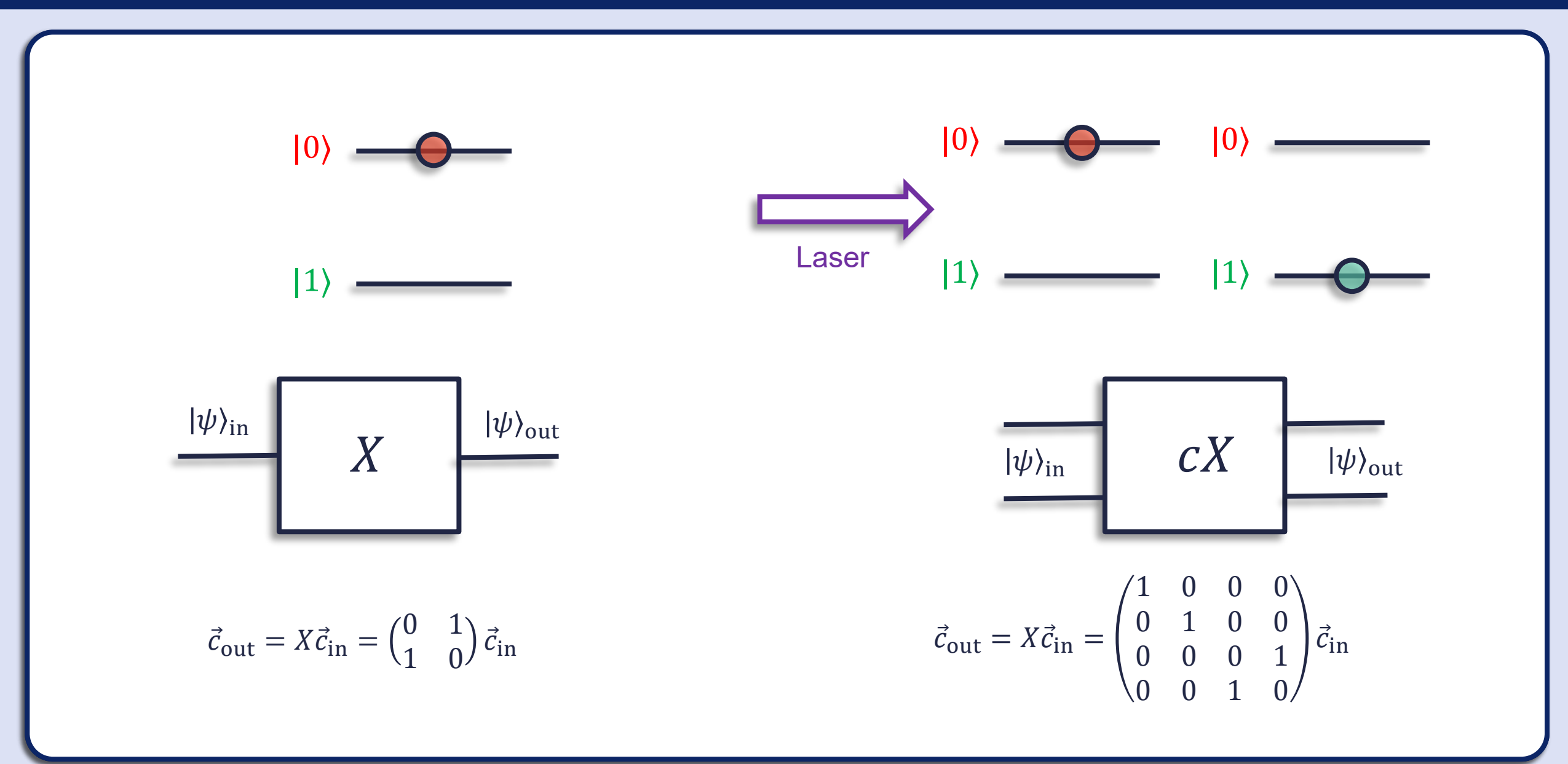
Gatteroperationen





Gatteroperationen als Matrix-Vektor Multiplikation





Quanten-Software und Emulationen



Anwendungsproblem

Quantenalgorithmus

Quantencompiler

Quantenschaltkreise

Emulatoren

Laserpulse & Messungen

Digital Twin

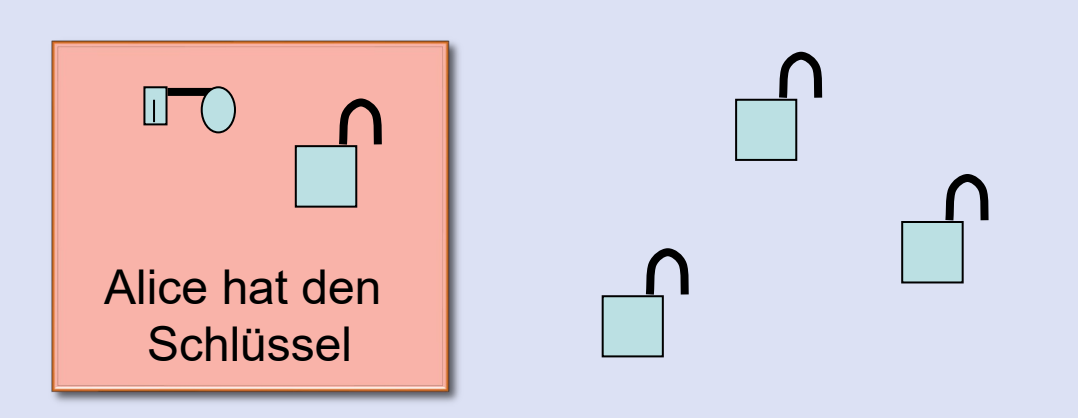
Quantenrechnung

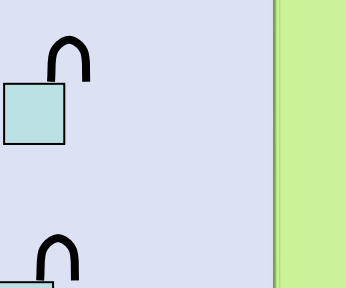
klassische Rechnung

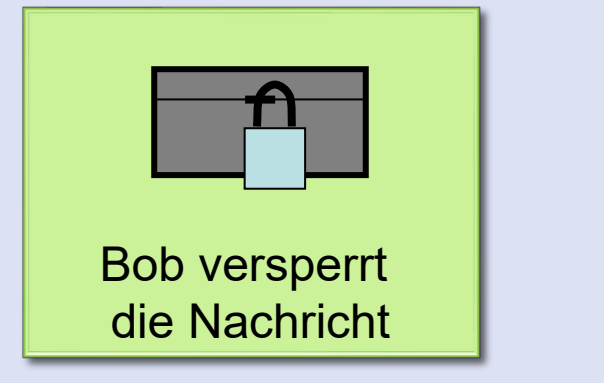
Der Shor Algorithmus – die Faktorisierung von Zahlen

RSA Verschlüsselung









Schlüssel:

- Primzahlen p und q (Alice privat)
- daraus berechnetes d (Alice privat) mit

$$(m^e)^d = m \mod M$$

- wobei e = 65537 (typisch) öffentlich ist,
- und M = pq mit typisch 2048 Stellen öffentlich ist

Ver- und Entschlüsselung:

• Verschlüsselung von Nachricht $m \to c$ durch Bob mit öffentlichen e und M

$$c = m^e \mod M$$

Entschlüsselung durch Alice $c \rightarrow m$ mit privaten Schluessel d und M

$$m = c^d \mod M$$

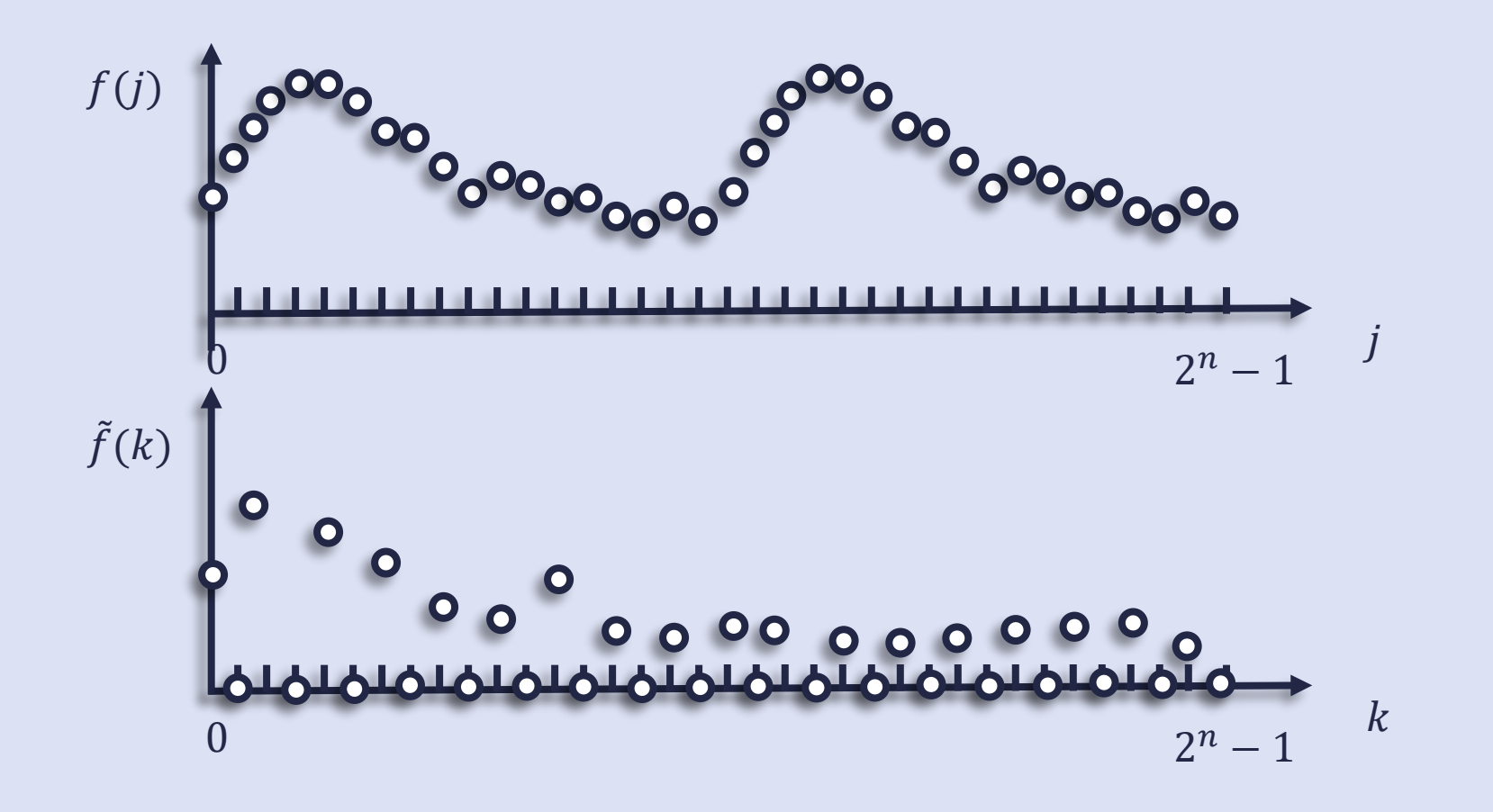
Faktorisierung der Zahl M



• Wenn man eine gerade Periode r kleiner als M kenn kann man (fast immer) einen Teiler von M finden.

$$f(l) = x^l \mod M$$

• Allerdings: das finden einer Periode ist klassisch ein exponentiell schwieriges Problem.

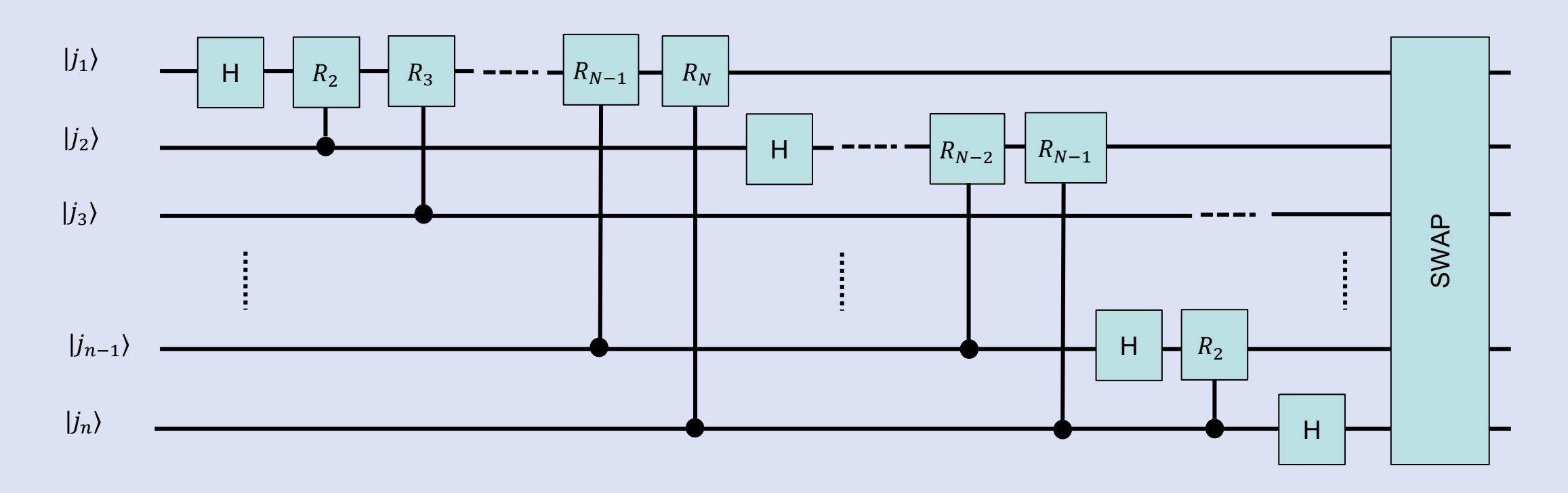


Auf einem klassischen
 Computer steigt der
 Rechenaufwand für die
 Fouriertransformation mit M

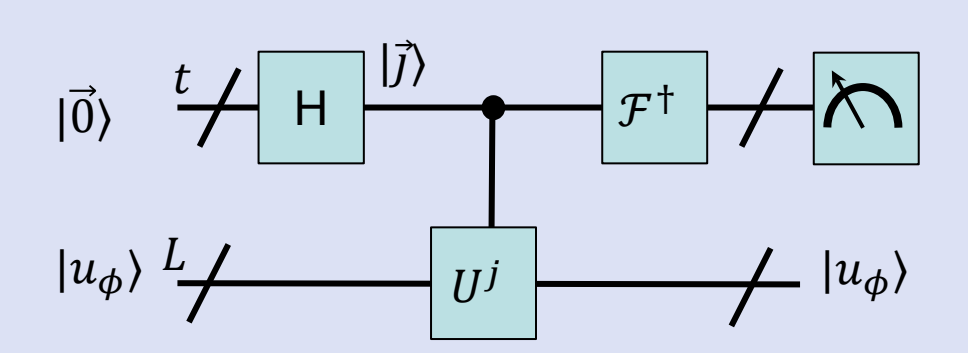
Auf einem
Quantencomputer kann dies
mit Aufwand log M
berechnet werden

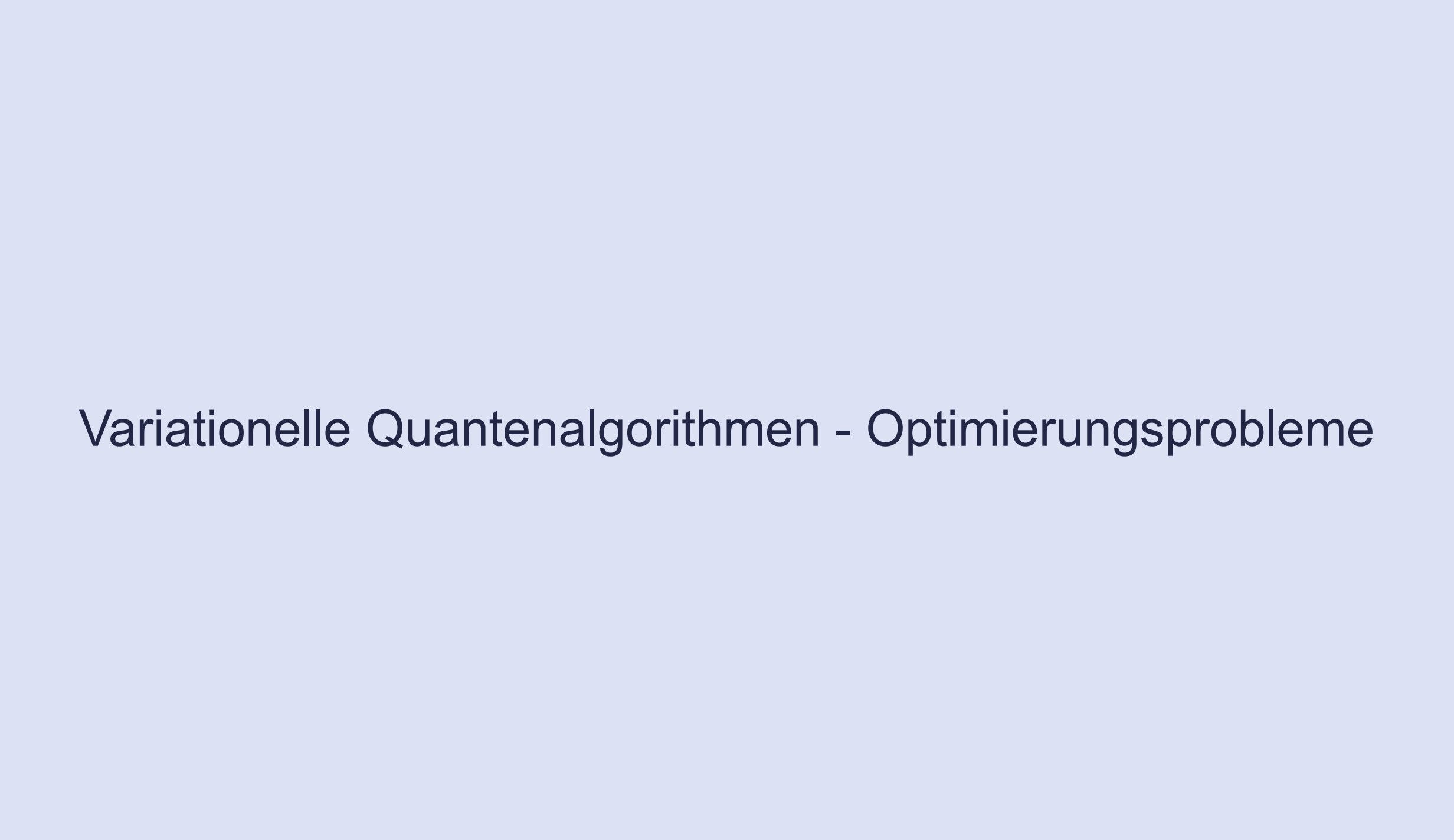
Quanten-Fouriertransformation





Eine Fouriertransformation benötigt nur $\propto n = \log M$ Quantengatter und ist damit exponentiell schneller als die besten klassischen Algorithmen





Hybride Optimierung – Hardware Architektur



Kostenfunktion



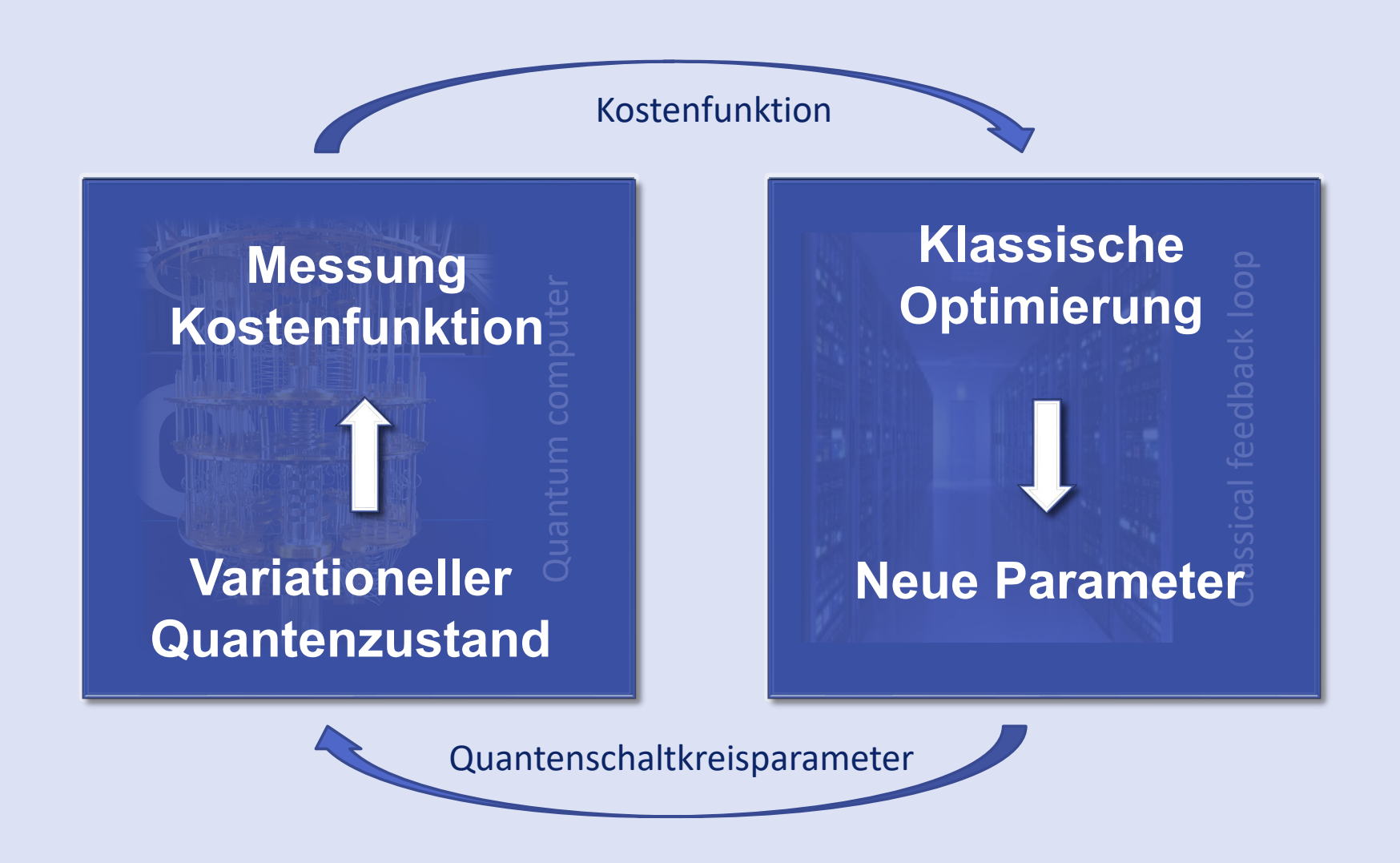


Quantenschaltkreisparameter

A variational eigenvalue solver on a photonic quantum processor, A. Peruzzo, et al., Nat. Commun. **5**, 4213 (2014). Variational quantum algorithms for nonlinear problems, M. Lubasch, et al., Phys. Rev. A **101**, 010301(R) (2020).

Hybride Optimierung – Hardware Architektur

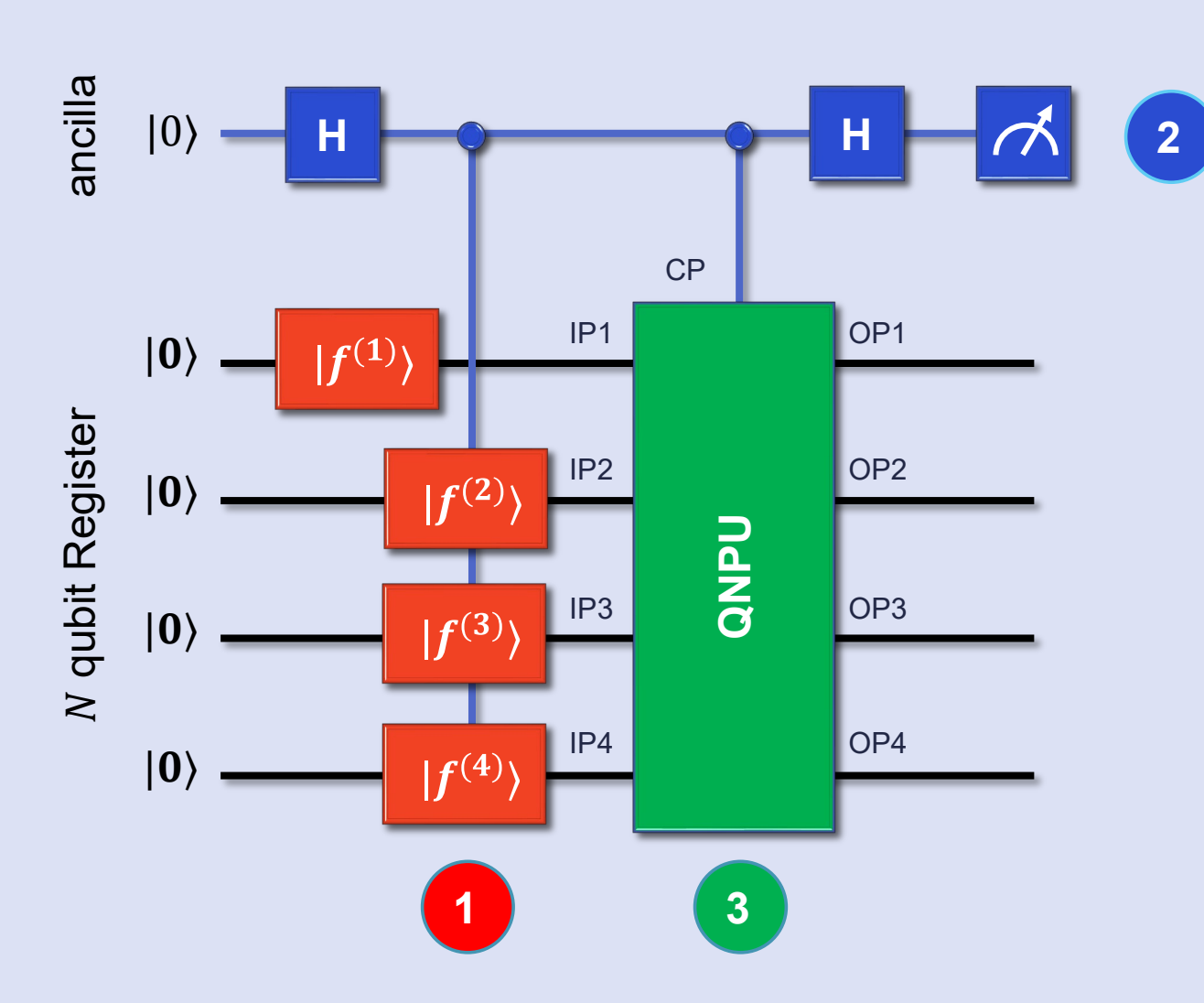




A variational eigenvalue solver on a photonic quantum processor, A. Peruzzo, et al., Nat. Commun. **5**, 4213 (2014). Variational quantum algorithms for nonlinear problems, M. Lubasch, et al., Phys. Rev. A **101**, 010301(R) (2020).

QNPU Schaltkreis zur Berechnung der Kostenfunktion $\mathcal C$



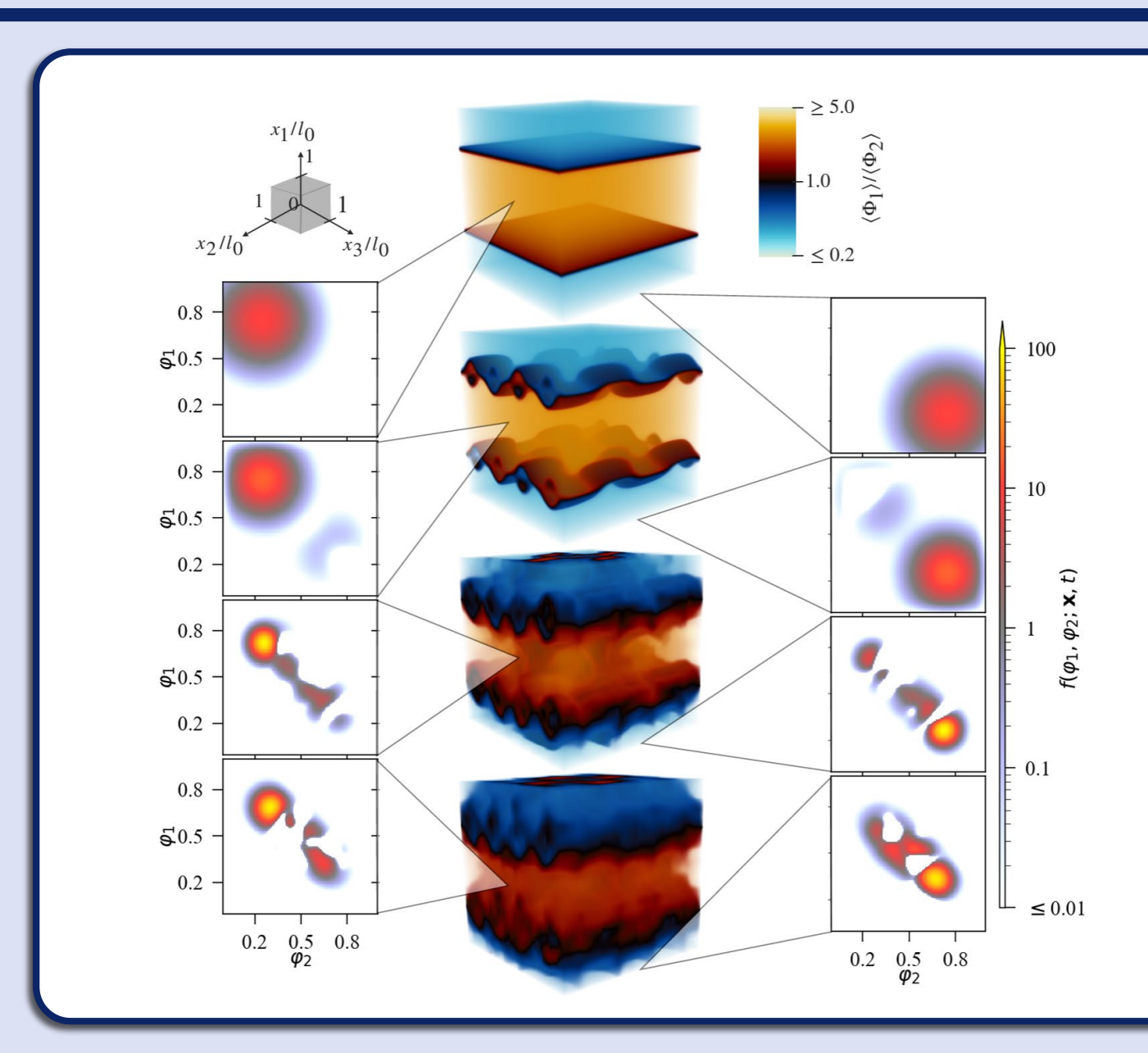


$$C = f^{(1)^*} \prod_{j=1}^{r} (O_j f^{(j)})$$

- 1 Erzeugung variationeller Zustand ($\propto n$)
- 2 Messung Kostenfunktion via ancilla Qubit
- 3 QNPU Berechnung Kostenfunktion ($\propto n$)

Berechnung einer Verbrennungsreaktion



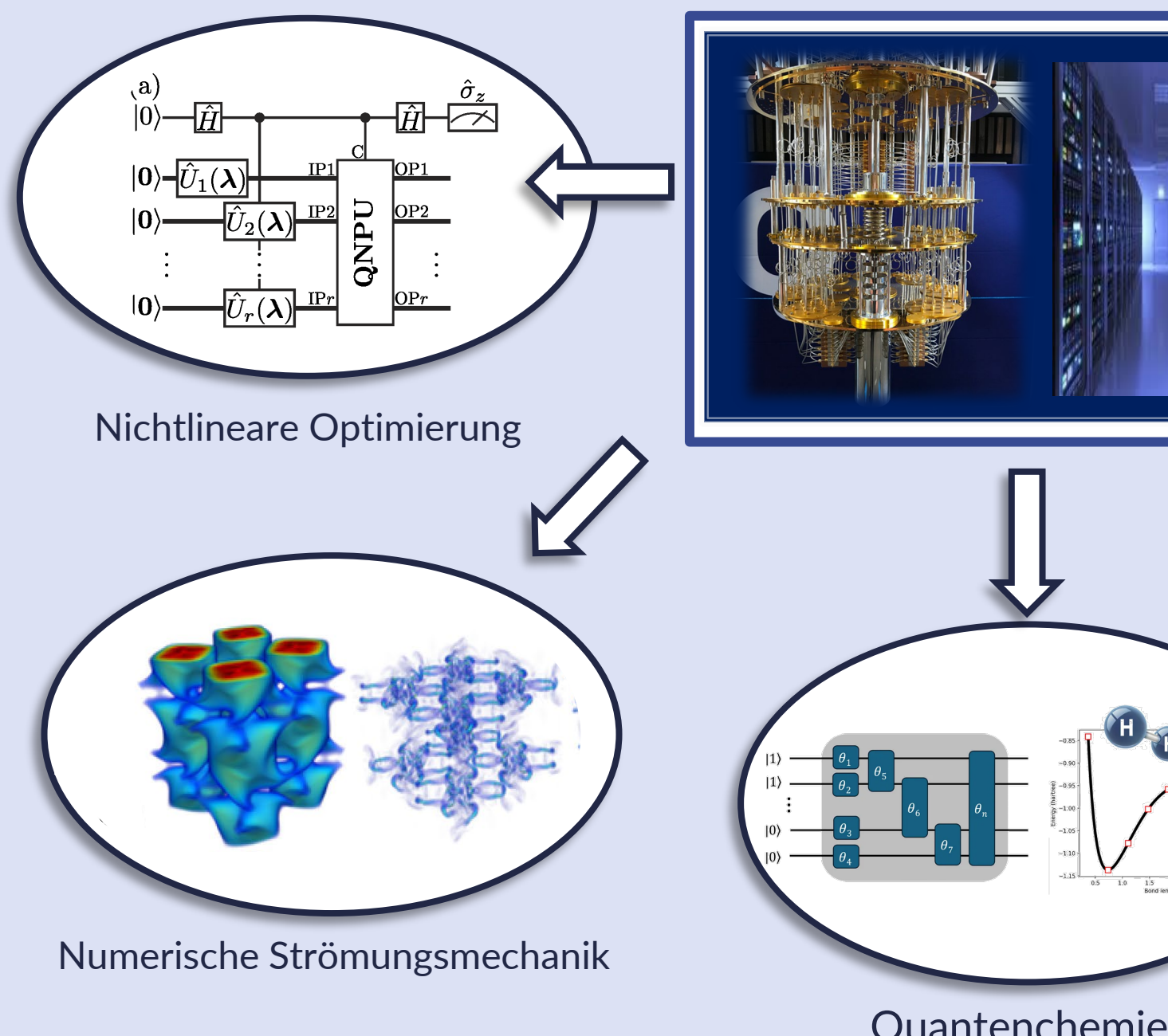


LES-FDF Simulation

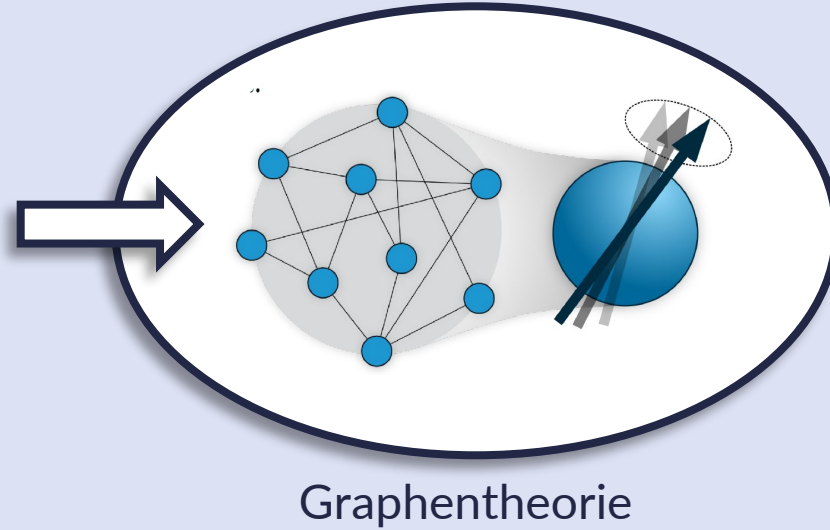
$$A + B \rightarrow P \text{ in } 3D$$

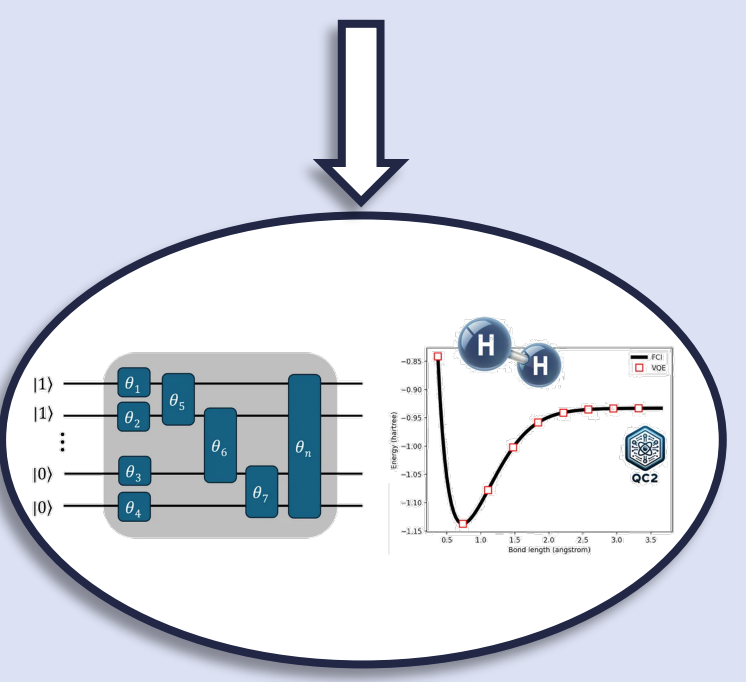
- Gittergröße: 128⁵
- Dynamische Evolution der joint PDF zweier Reaktanten als Funkton des Ortes zu verschiedenen Zeitpunkten.

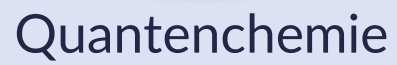
 Tensor networks enable the calculation of turbulence probability distributions, Nikita Gourianov, Peyman Givi, Dieter Jaksch, and Stephen B. Pope, arXiv:2407.09169 (2024)

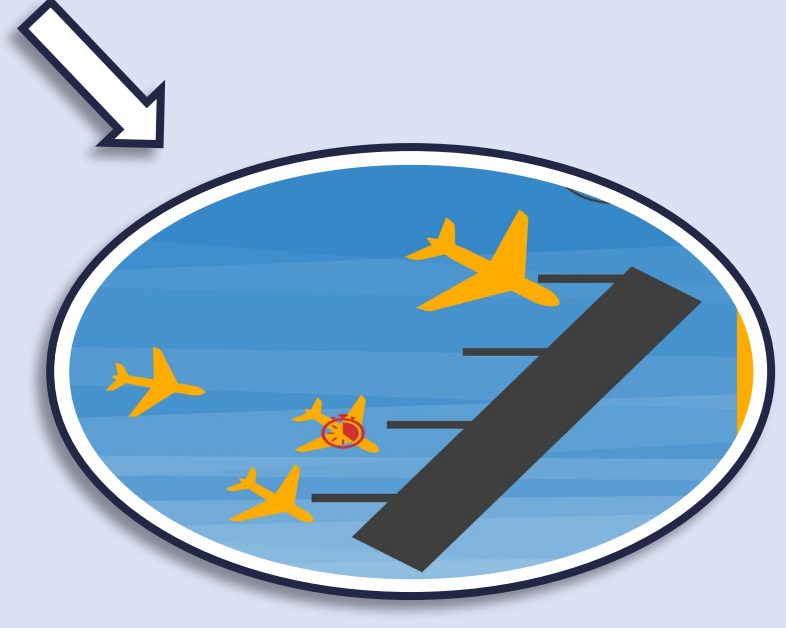








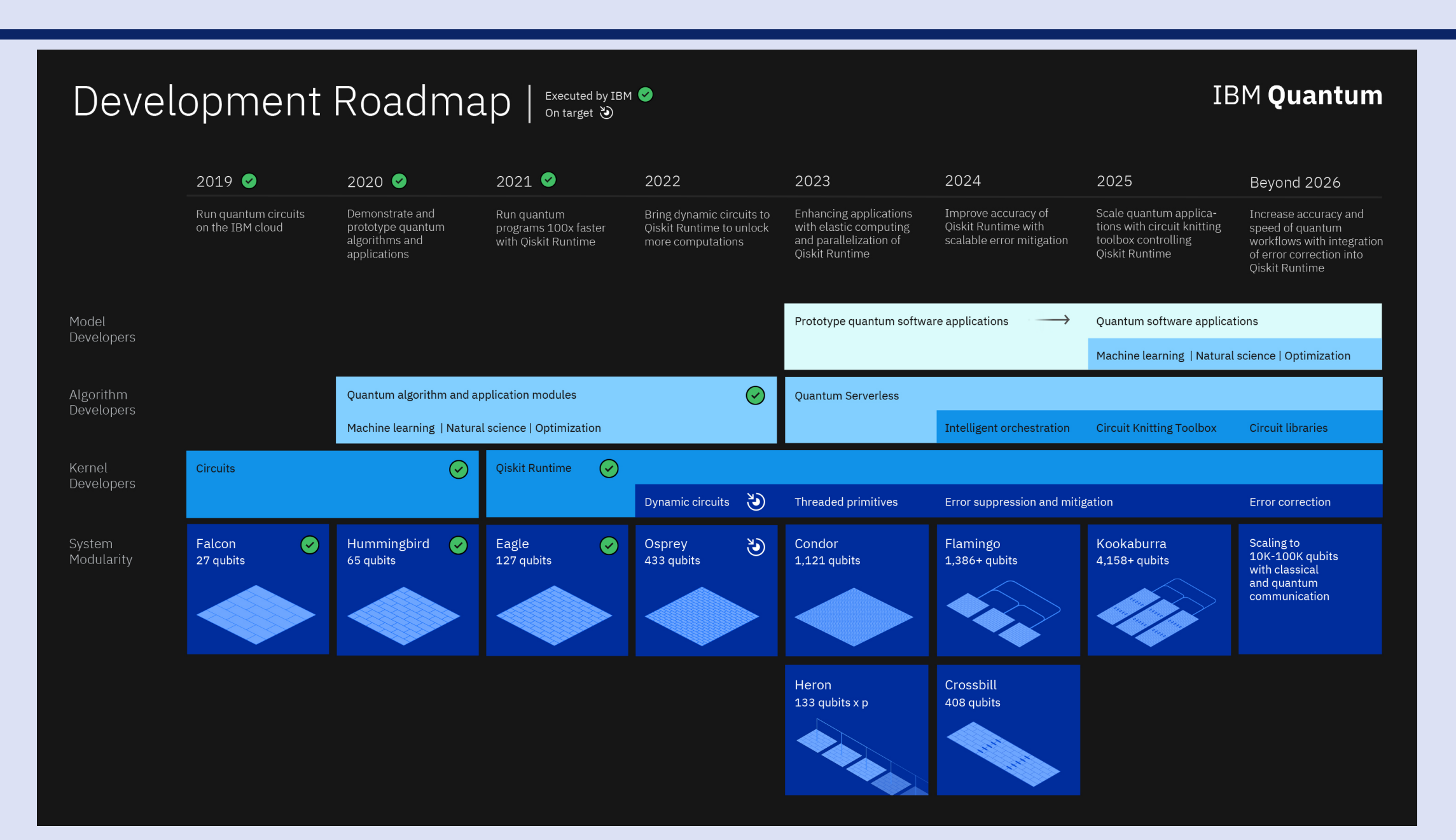




Prozessoptimierungen

Wann werden wir einen Quantenrechner haben?





bereits tausende angeboten werden können 2024/25 dass 2022 war geplant, **Quantenbits**

Wann werden wir einen Quantenrechner haben?



IBM Technology Atlas

Quantum roadmap

The future of computing is quantum-centric.

Updated May 2024

- completed
- → pushed to next year
- on target

	2023	2024	2025	2027	2029	2030+
Quantum journey	Introduce parallelization of quantum computations.	© Expand the utility of quantum computing.	Demonstrate quantum- centric supercomputing.	Scale quantum computing.	Deliver a fully error- corrected system.	Deliver quantum-centric supercomputers with 1,000's of logical qubits.
Strategy overview	2023 is all about pushing speed in quantum workflows by introducing parallelization in the Qiskit Primitives.	We will improve the quality and speed of quantum circuits to allow running 5,000 gates with parametric circuits.	In 2025, we will enhance the quality of quantum circuits to allow running 7,500 gates and bring together modular processors, middleware, and quantum communication to demonstrate the first quantum-centric supercomputer.	We will scale qubits, electronics, infrastructure, and software to reduce footprint, cost, and energy usage. The quality of quantum circuits will improve to allow running 10,000 gates.	We will bring users a quantum system with 200 qubits capable of running 100 milion gates.	Beyond 2033, quantum-centric supercomputers will include thousands of qubits capable of running 1 billion gates, unlocking the full power of quantum computing.
Why this matters to our clients and the world	▼ Today, our systems are capacity limited and user jobs can take multiple days. Efficient parallelization between QPUs and parallelization of quantum and classical resources will enable efficient near-term algorithms.	© Qiskit Primitives with error mitigation will provide the foundation platform where algorithm and application developers can focus on the workflows and get the best quality out of the quantum hardware.	Abstraction will move from quantum circuits to quantum functions leveraging the Qiskit patterns. This will make quantum computing more usable and will be the start of domain libraries.	Scaled quantum systems will allow users to run larger computations. Multiple computing resources will be seamlessly combined to optimally handle workflows and extend the computational reach of quantum systems.	Users will be able to run large- scale problems using high-rate quantum error correction.	Quantum computers running algorithms using thousands of logical qubits are expected to enable general applications in security, chemistry, machine learning, and optimization.
The technology or innovations that will make this possible	 ⊘ Middleware will automatically distribute tasks. ⊘ Serverless tools will allow users to focus on code and not the infrastructure. ⊘ Expanded classical resources in Qiskit Runtime will speed up compilation and maximize the utilization of the QPUs. 	Built-in error mitigation will automatically determine the best method to reduce the effect of noise. Transpiler services will optimally rewrite circuits for hardware, taking advantage of AI. Watson Code Assistant will help users write Qiskit code to program quantum systems.	A quantum node will be part of a network incorporating classical and quantum communication. Resource management will handle quantum and classical workflows. Qiskit will provide libraries of quantum functions and higherlevel APIs for faster algorithm and application development.	Intelligent orchestration will analyze workflows to identify the optimal resource allocation (QPUs, communication, and classical resources) for the task. Qiskit will orchestrate approaches to handle errors to provide noise-free outputs to the users.	A novel and efficient error correction code will extend the computational reach of quantum resources. The system will have low-level dedicated classical hardware and a compiler for quantum-centric supercomputing.	Efficient logical decoding will enable 2,000 qubits working in a distributed 100,000-qubit machine. The middleware will include distributed software tools to manage noise-free quantum computations working seamlessly with classical computations. Qiskit will include general purpose quantum computing libraries to simplify the work of developers.
How these advancements will be delivered to IBM clients and partners	Multiple 100+ qubit Eagle processors will be connected using classical communication. Ahead-of-time compilation will increase utilization of the QPUs.	Multiple higher-quality 100+ qubit Heron processors will be connected using classical communication.	Pre-built Qiskit functions and optimized libraries will be available. A 1,000+ qubit Flamingo system will be demonstrated, made from multiple processors, with each processor made from multiple chips.	The performance of our Flamingo systems will improve to allow users to run circuits with up to 10,000 gates and 1,000+ qubits.	The Starling system will be available to clients. It will be a modular, error-corrected quantum-centric supercomputer with 200 qubits capable of running a total of 100 million gates.	Our 100,000-qubit Blue Jay system will define 2,000 qubits capable of running a total of 1 billion gates. The middleware wi integrate this system into ever more powerful quantum-centric supercomputers.

Fokus auf ap 2024 Plan mit weniger Quantenbits und Skalierung Qualität, der Verbesserung

Danke an meine Forschergruppe und Kollegen





Dieter Jaksch@UHH
Thomas Rung@TUHH
Felix Motzoi@Juelich
Barbara Kraus@TUM
Dimitris Angelakis@TUC
Paolo Geremia@ENGYS
Martin Kiffner@PlanQC







Peyman@PIT



Jason@IBM



Andrew@OXF



Joseph@LHIND



Stephen@Cornell

Ringvorlesung von Dieter Jaksch



Datum und Ort:

29.10.2024 um 17:15 Uhr im Otto Stern-Hörsaal (Hörsaal II), Jungiusstraße

Titel: Quantenbits in Aktion: Physik und Anwendungen des Quantenrechnens"

Abstract:

Quantenrechner haben das Potenzial unsere Art der Informationsverarbeitung radikal zu verändern. Im Zentrum dieser Technologie stehen die sogenannten Quantenbits, die winzigen Einheiten, deren Funktion auf den Prinzipien der Quantenmechanik basiert. In diesem Vortrag werde ich auf möglichst verständliche Weise die grundlegenden physikalischen Eigenschaften von Quantenbits und ihre Bedeutung für das Quantenrechnen erklären.

Dabei nehmen die Eigenschaften Superposition und Quantenverschränkung eine besondere Rolle ein, da sie es erlauben mittels Quantenparallelismus eine große Zahl von Rechnungen in einem Schritt durchzuführen. Gleichzeitig sind dies aber auch jene Eigenschaften, die experimentell besonders schwer zu kontrollieren sind. Ich werde erklären wie für verschiedene physikalische Plattformen Methoden entwickelt werden um diese Kontrolle zu erreichen, und ich werde den momentanen Stand der Technik beschreiben. Ich werde außerdem einige spannende Anwendungsbeispiele des Quantenrechnens betrachten und darstellen, wie Wissenschaftler versuchen mit Hilfe von Quantenrechnern Probleme zu lösen, die sich die sich mit herkömmlichen numerischen Methoden nicht mehr lösen

Homepage Link:

lassen.

Theory of many-body quantum optical systems: Institute for Quantum Physics: Universität Hamburg (uni-hamburg.de)

Bilder für Abstract



